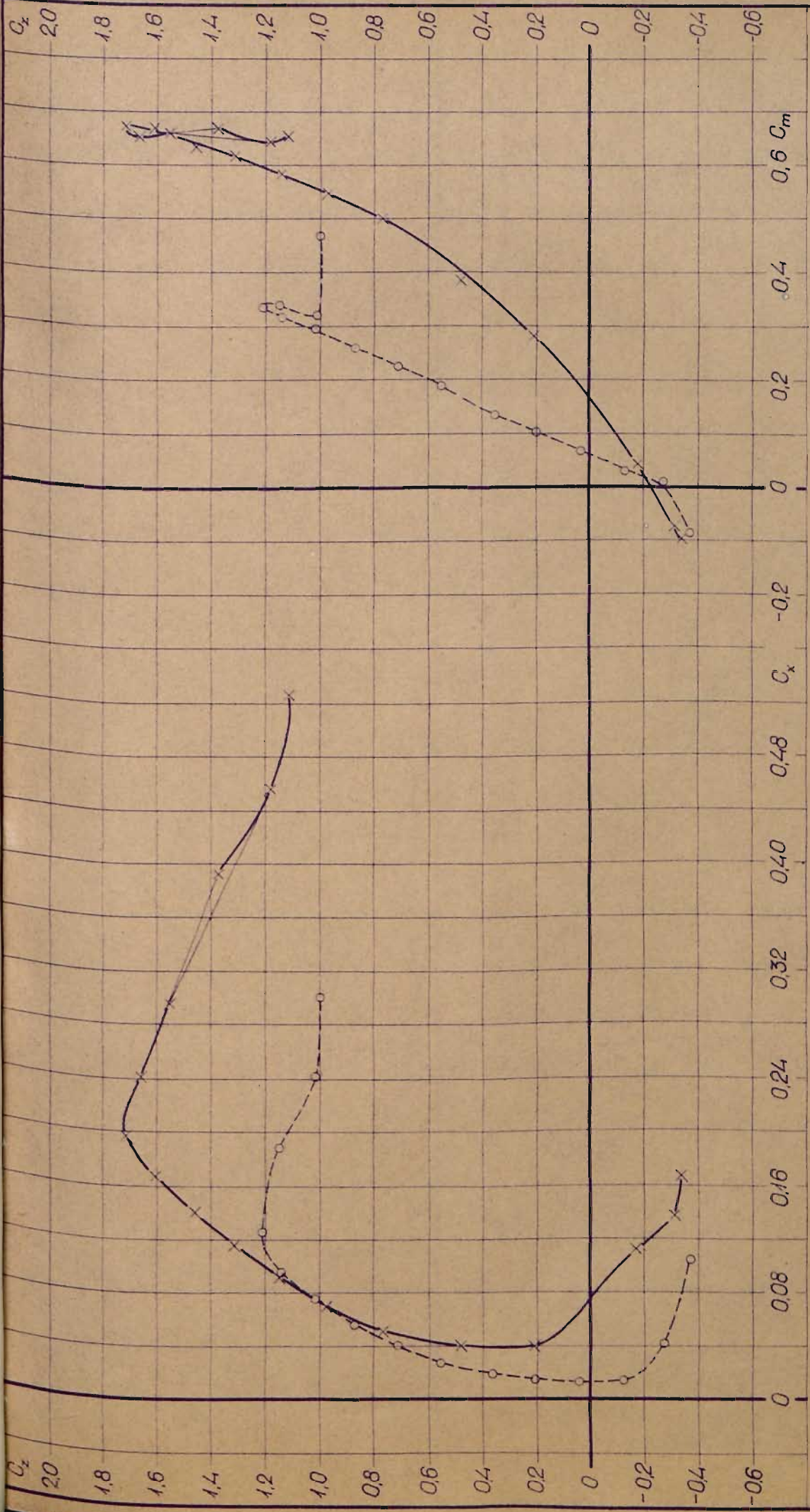
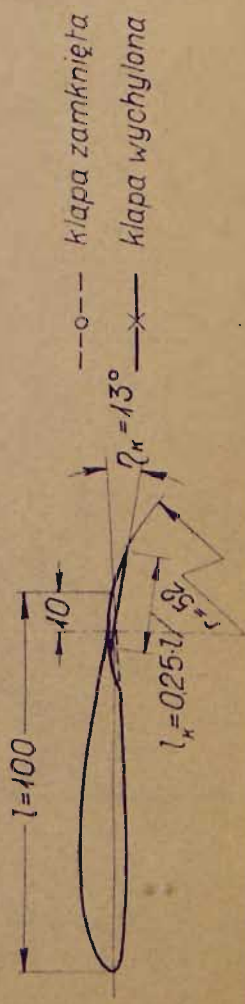


Platy z klapą typu Fowlera.

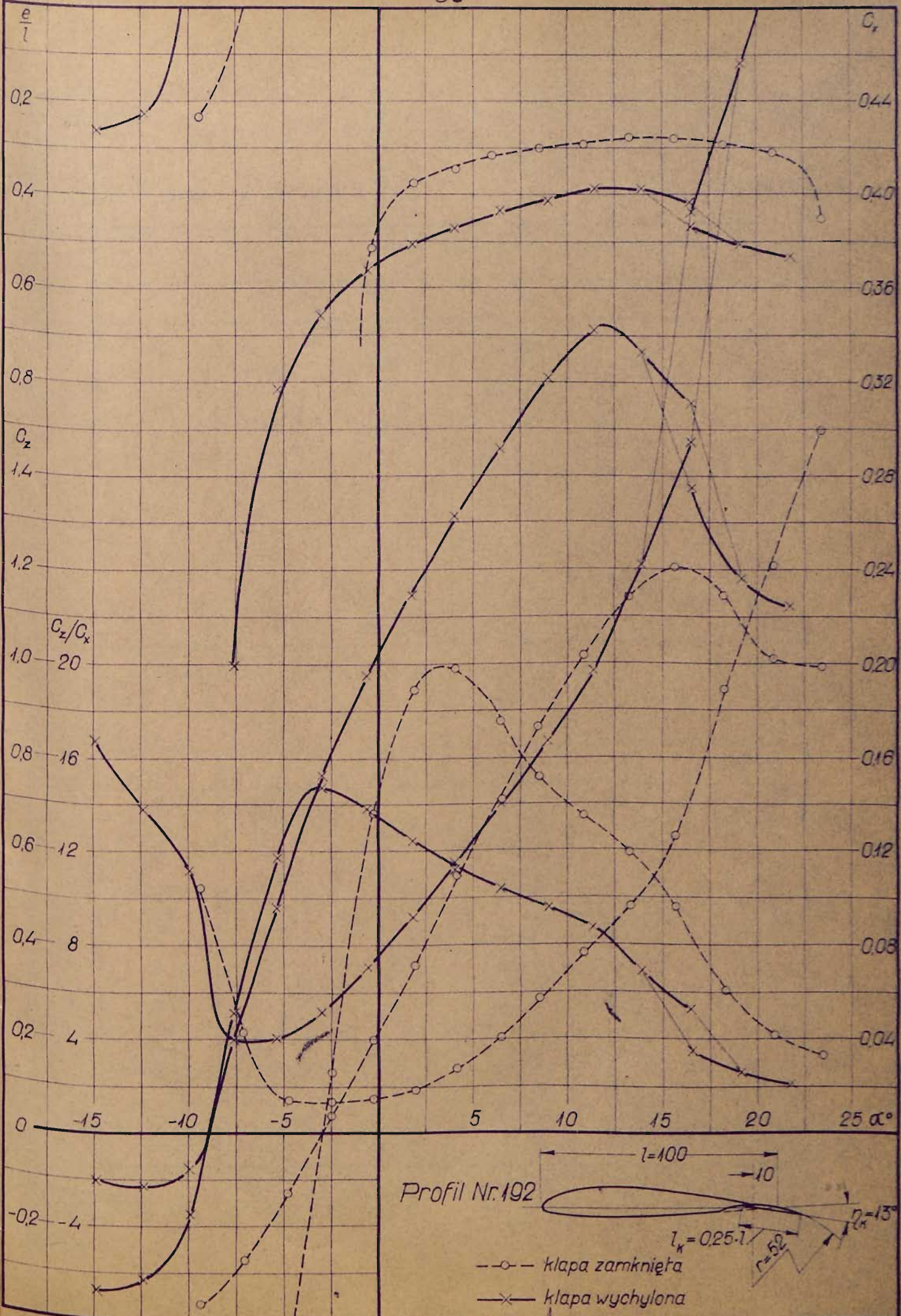


Profil Nr 192

$F = 0.07 m^2$
 $\lambda = 7$
 Ciężar $l = 0.1 m$
 Grubość $g_{max} = 12\%$
 Rozpiętość $b = 0.7 m$
 Ciśnienie prędkości $q = 100 kg/m^2$
 Liczba Reynoldsa $Re \approx 29 \cdot 10^5$



---o--- kłapa zamknięta
 ---x--- kłapa wychylona



Plat z klapą typu Shorta.

Profil Nr.192.

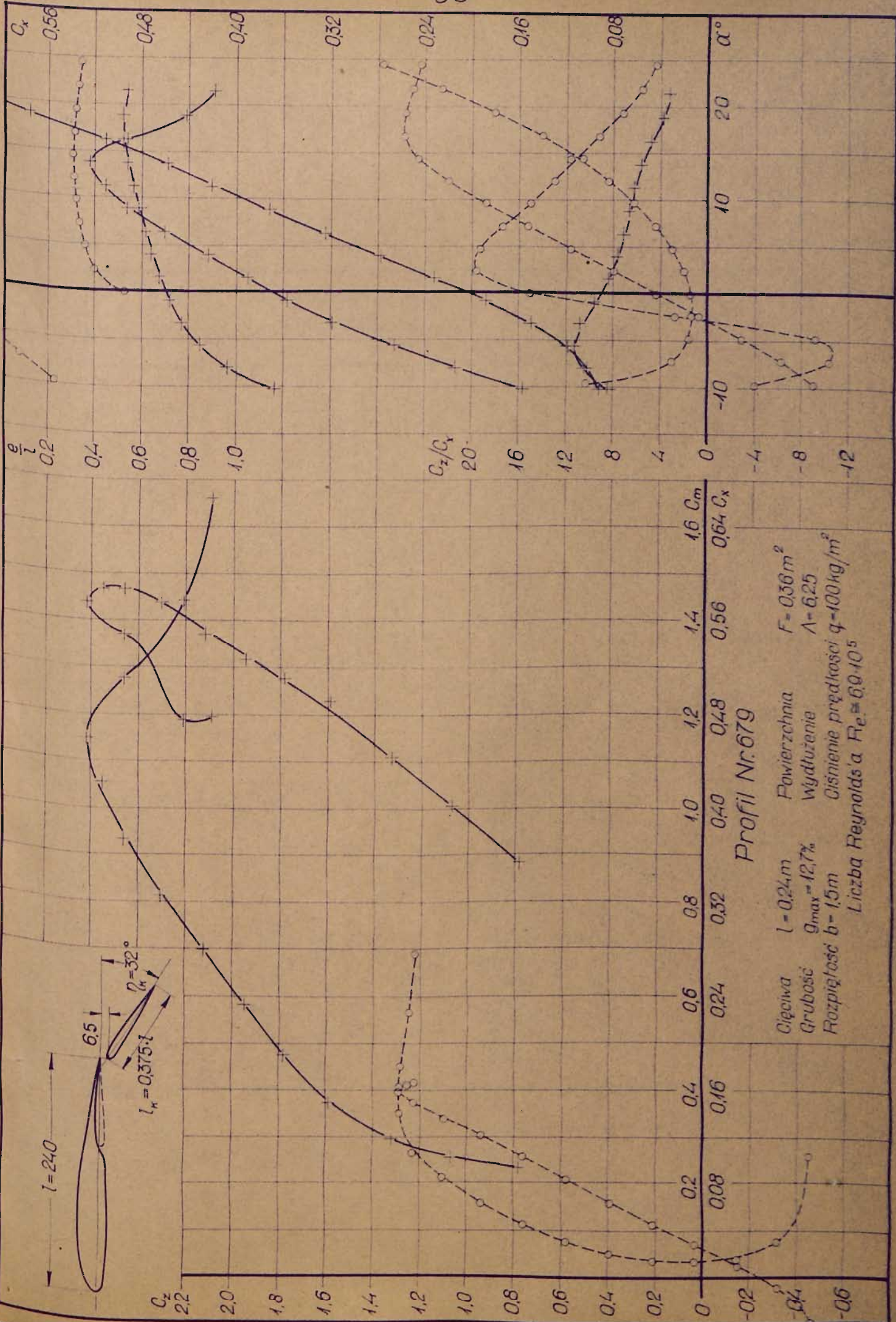
Plat normalny.					
α°	c_z	c_x	c_z/c_x	c_m	e/l
23,5	0,994	0,301	3,31	0,467	0,453
20,9	1,012	0,242	4,17	0,321	0,311
18,3	1,144	0,189	6,07	0,337	0,295
15,7	1,204	0,126	9,60	0,335	0,281
13,3	1,140	0,0959	11,93	0,316	0,279
10,9	1,016	0,0756	13,44	0,295	0,292
8,7	0,864	0,0570	15,15	0,259	0,301
6,5	0,711	0,0406	17,51	0,225	0,317
4,1	0,547	0,0276	19,79	0,189	0,346
1,9	0,354	0,0187	18,90	0,134	0,378
-0,3	0,197	0,0145	13,60	0,102	0,516
-2,5	0,036	0,0132	2,57	0,068	1,932
-4,8	-0,130	0,0138	-9,39	0,030	-0,227
-7,1	-0,272	0,0427	-6,37	0,011	-0,041
-9,4	-0,368	0,104	-3,54	-0,086	0,233

Plat z klapą wysuniętą.

$l_k = 0,25 \text{ l}$

$\alpha = 13^\circ$

α°	c_z	c_x	c_z/c_x	c_m	e/l
21,8	1,120	0,527	2,13	0,654	0,531
19,2	1,181	0,456	2,59	0,642	0,507
16,6	1,374	0,392	3,50	0,668	0,468
16,5	1,556	0,295	5,27	0,660	0,418
13,9	1,662	0,242	6,86	0,651	0,389
11,4	1,711	0,197	8,70	0,672	0,392
9,0	1,606	0,167	9,60	0,670	0,416
6,5	1,459	0,140	10,41	0,634	0,433
4,1	1,312	0,116	11,34	0,620	0,471
1,8	1,146	0,0922	12,43	0,584	0,509
-0,6	0,975	0,0705	13,82	0,549	0,564
-3,0	0,763	0,0516	14,78	0,500	0,659
-5,3	0,480	0,0408	11,76	0,385	0,814
-7,6	0,208	0,0401	5,18	0,282	1,406
-9,9	-0,174	0,112	-1,55	0,045	-0,238
-12,3	-0,312	0,138	-2,26	-0,076	0,220
-14,8	-0,338	0,168	-2,02	-0,098	0,255



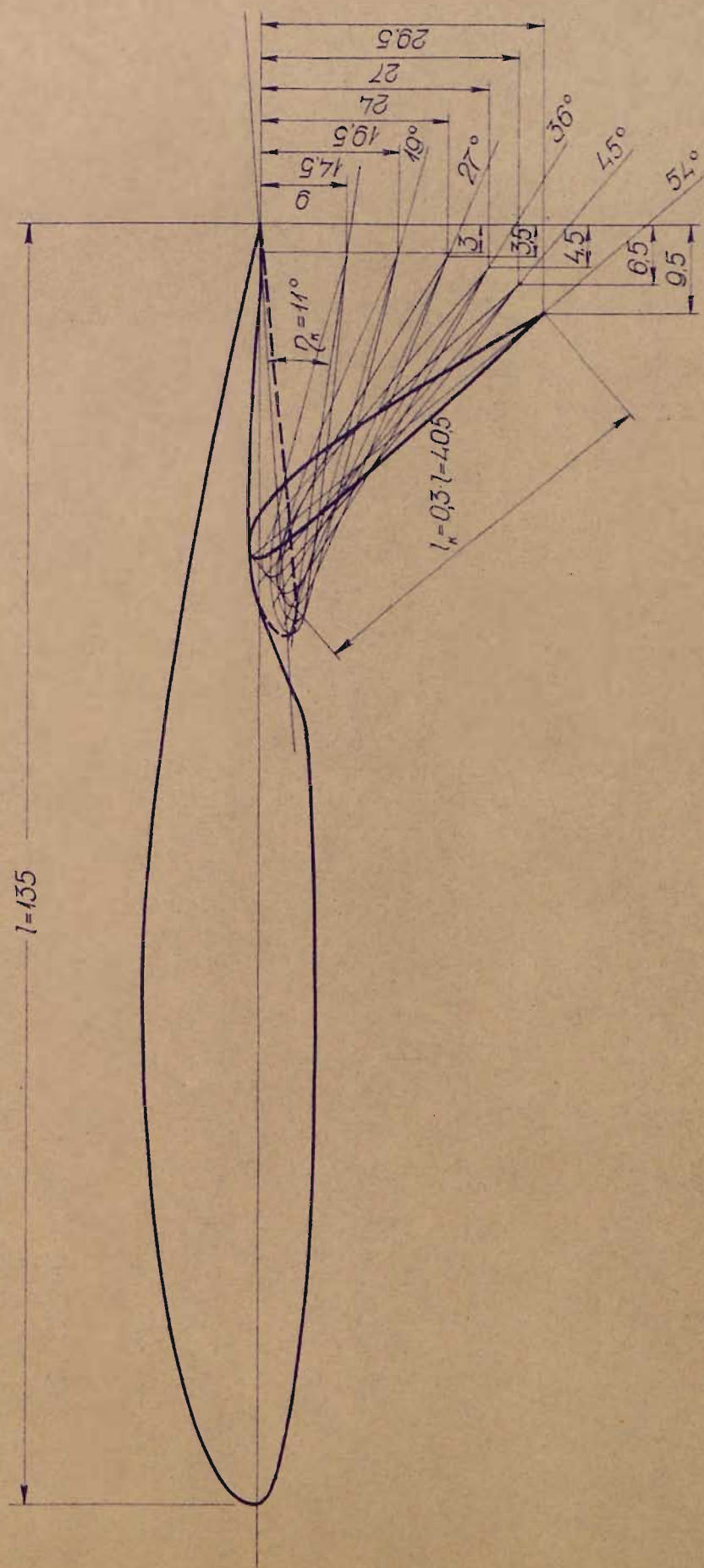
Ciężar $l = 0.24m$
 Grubość $g_{max} = 12.7\%$
 Rozpiętość $b = 1.5m$
 Powierzchnia $F = 0.36m^2$
 Wydłużenie $\Lambda = 6.25$
 Ciśnienie prędkości $q = 100kg/m^2$
 Liczba Reynoldsa $Re \approx 69 \cdot 10^5$

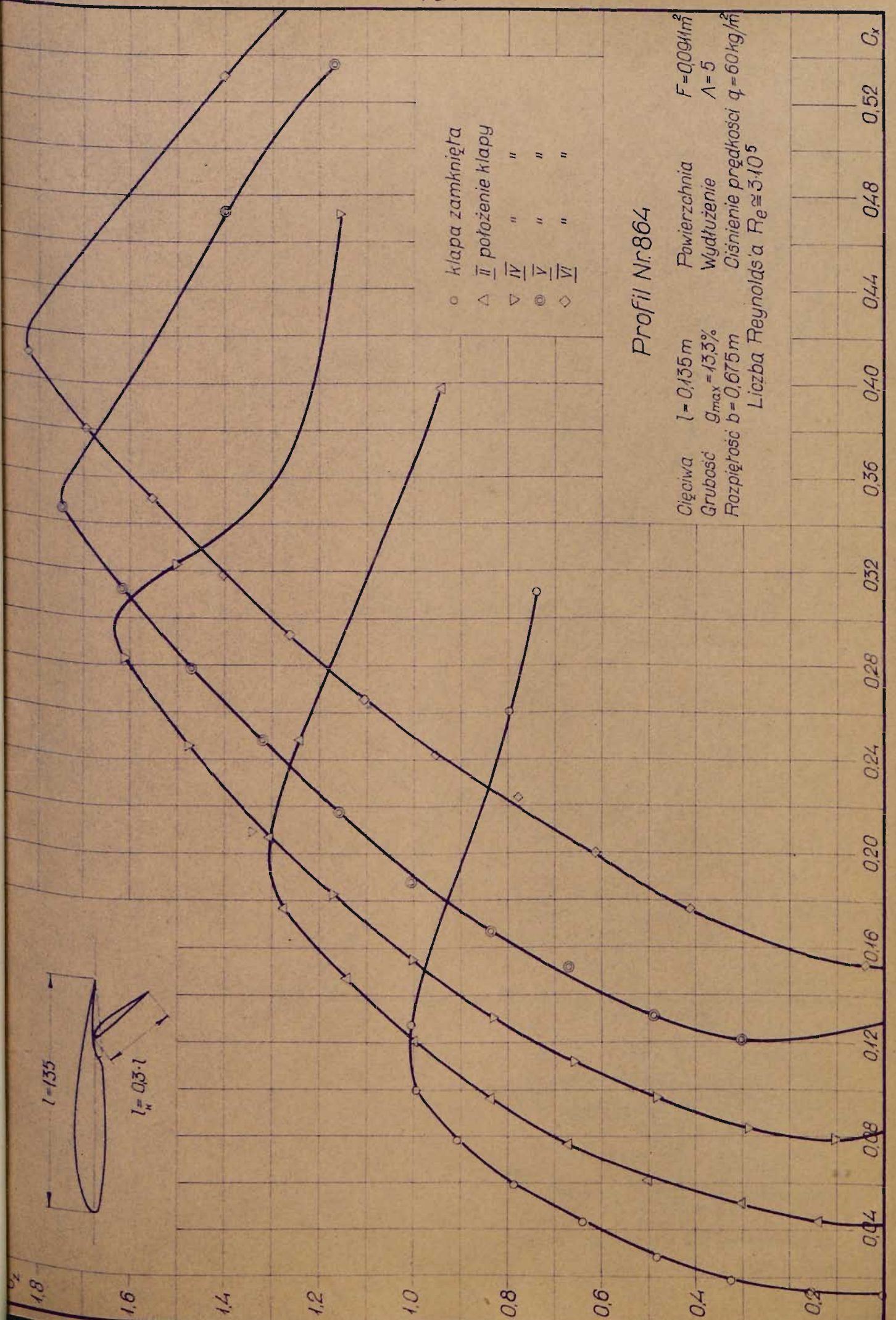
Plat z klapa Fowlera.

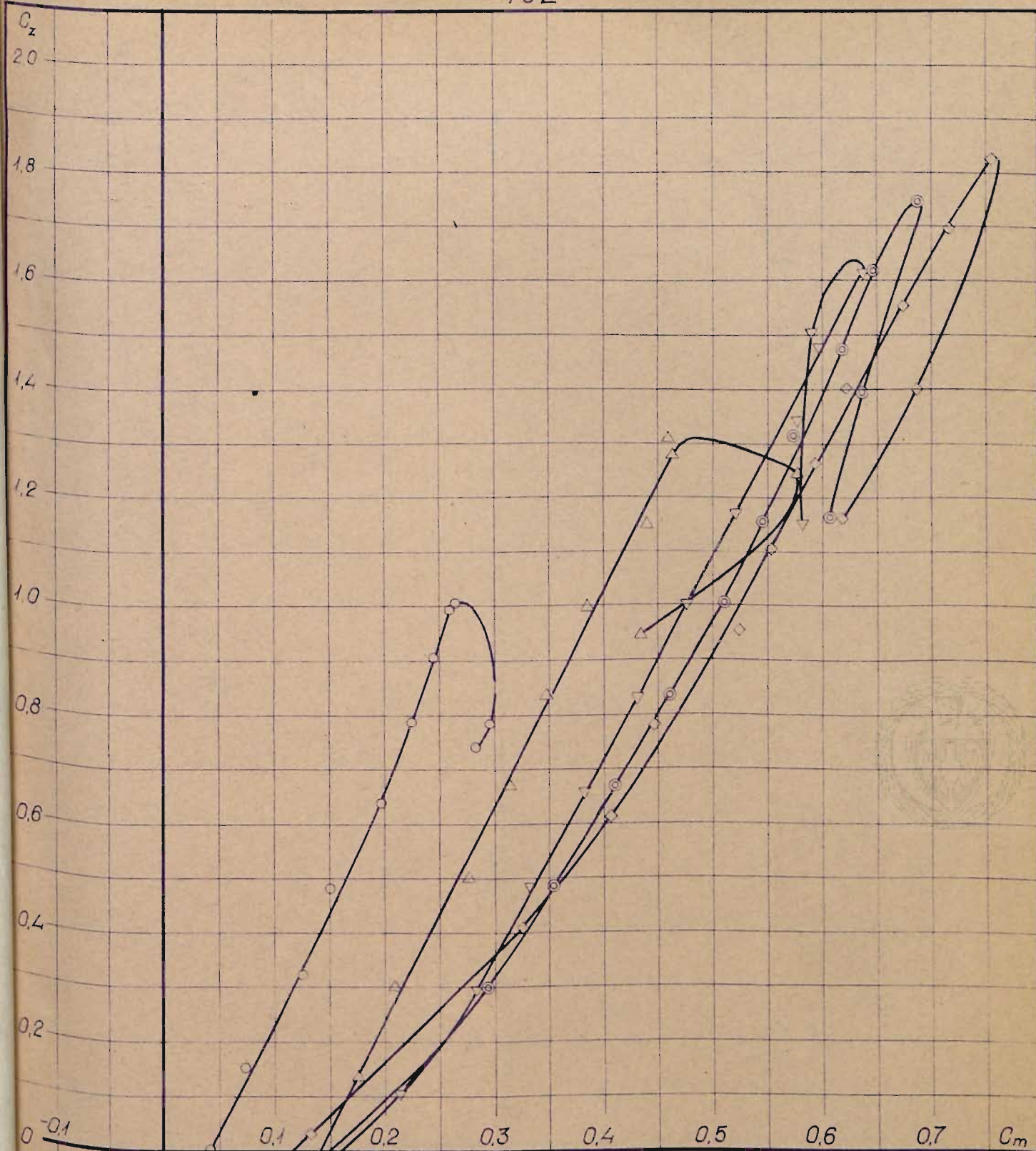
Profil Nr. 679.

Plat z klapa wysunięta.				$l_k = 0,375 \text{ l}$	
α_0	c_z	c_x	c_z/c_x	c_m	e/l
$\eta_k = 0^\circ$					
24,3	1,222	0,275	4,44	0,417	0,340
21,8	1,248	0,226	5,53	0,409	0,329
19,3	1,286	0,181	7,12	0,406	0,319
16,8	1,289	0,140	9,22	0,395	0,310
14,3	1,231	0,106	11,70	0,372	0,305
11,9	1,100	0,0841	13,07	0,339	0,310
9,5	0,940	0,0627	14,99	0,302	0,323
7,1	0,766	0,0441	17,37	0,259	0,338
4,7	0,581	0,0301	19,29	0,207	0,357
2,3	0,395	0,0202	19,55	0,158	0,399
-0,1	0,213	0,0142	15,04	0,113	0,528
-2,5	0,037	0,0136	2,68	0,069	1,906
-4,9	-0,144	0,0156	-9,21	0,025	-0,174
-7,3	-0,313	0,0305	-10,26	-0,022	0,070
-9,8	-0,449	0,103	-4,06	-0,098	0,227
$\eta_k = 32^\circ$					
21,4	2,090	0,663	3,16	1,193	0,546
18,8	2,210	0,576	3,84	1,198	0,522
16,2	2,458	0,510	4,82	1,366	0,525
13,6	2,620	0,458	5,72	1,437	0,541
11,1	2,553	0,421	6,07	1,466	0,567
8,7	2,464	0,372	6,62	1,468	0,589
6,3	2,304	0,324	7,12	1,439	0,619
3,9	2,120	0,278	7,64	1,369	0,643
1,5	1,949	0,232	8,42	1,318	0,675
-1,0	1,780	0,188	9,49	1,274	0,718
-3,4	1,591	0,149	10,65	1,226	0,776
-5,7	1,325	0,118	11,19	1,107	0,848
-8,1	1,067	0,102	10,48	1,004	0,965
-10,4	0,781	0,0926	8,45	0,880	1,172

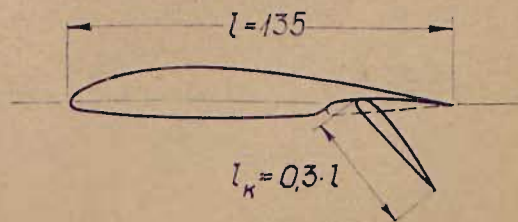
Profil Nr. 864.



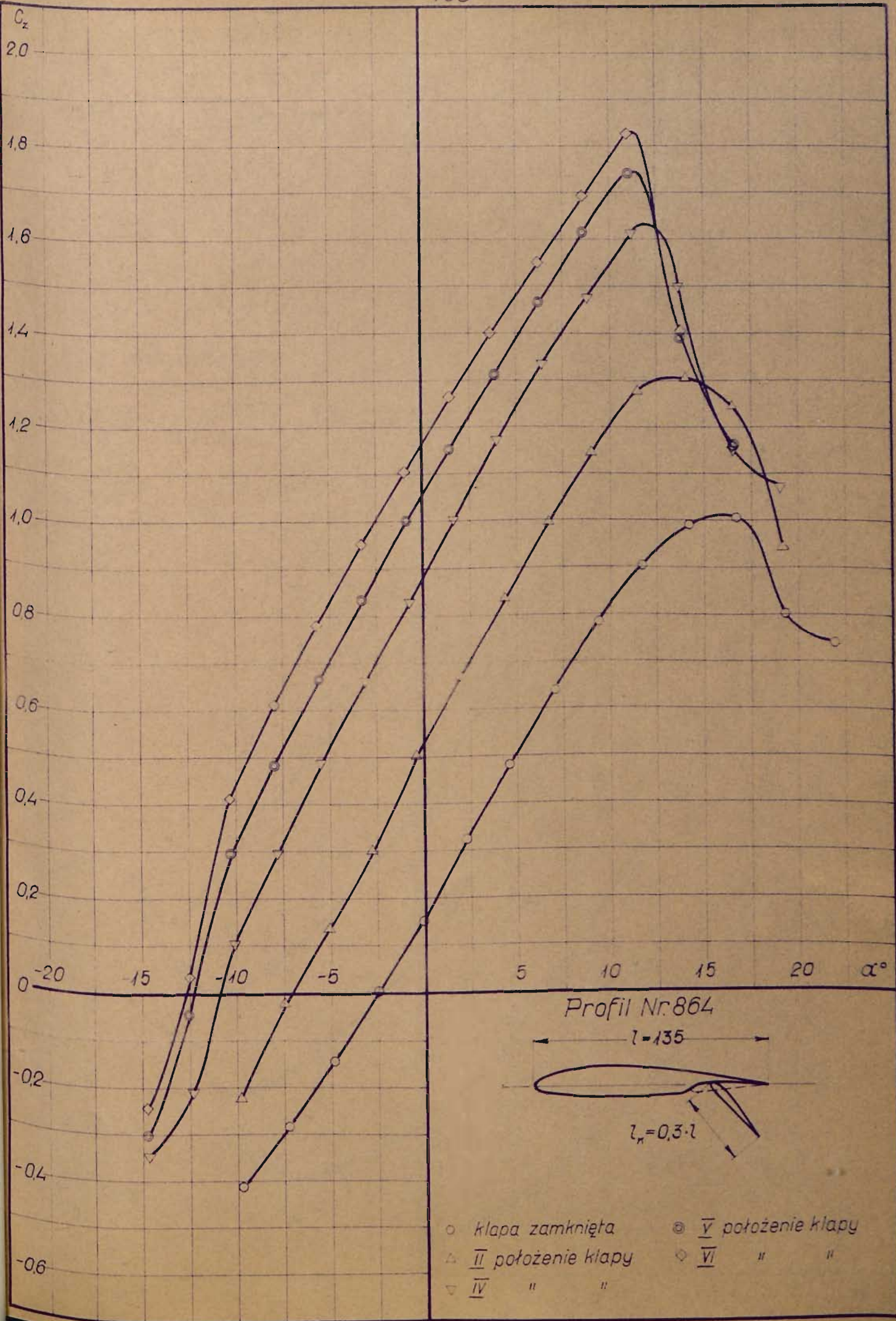




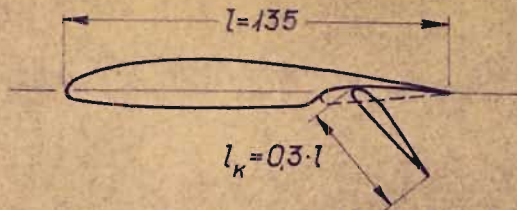
Profil Nr. 864



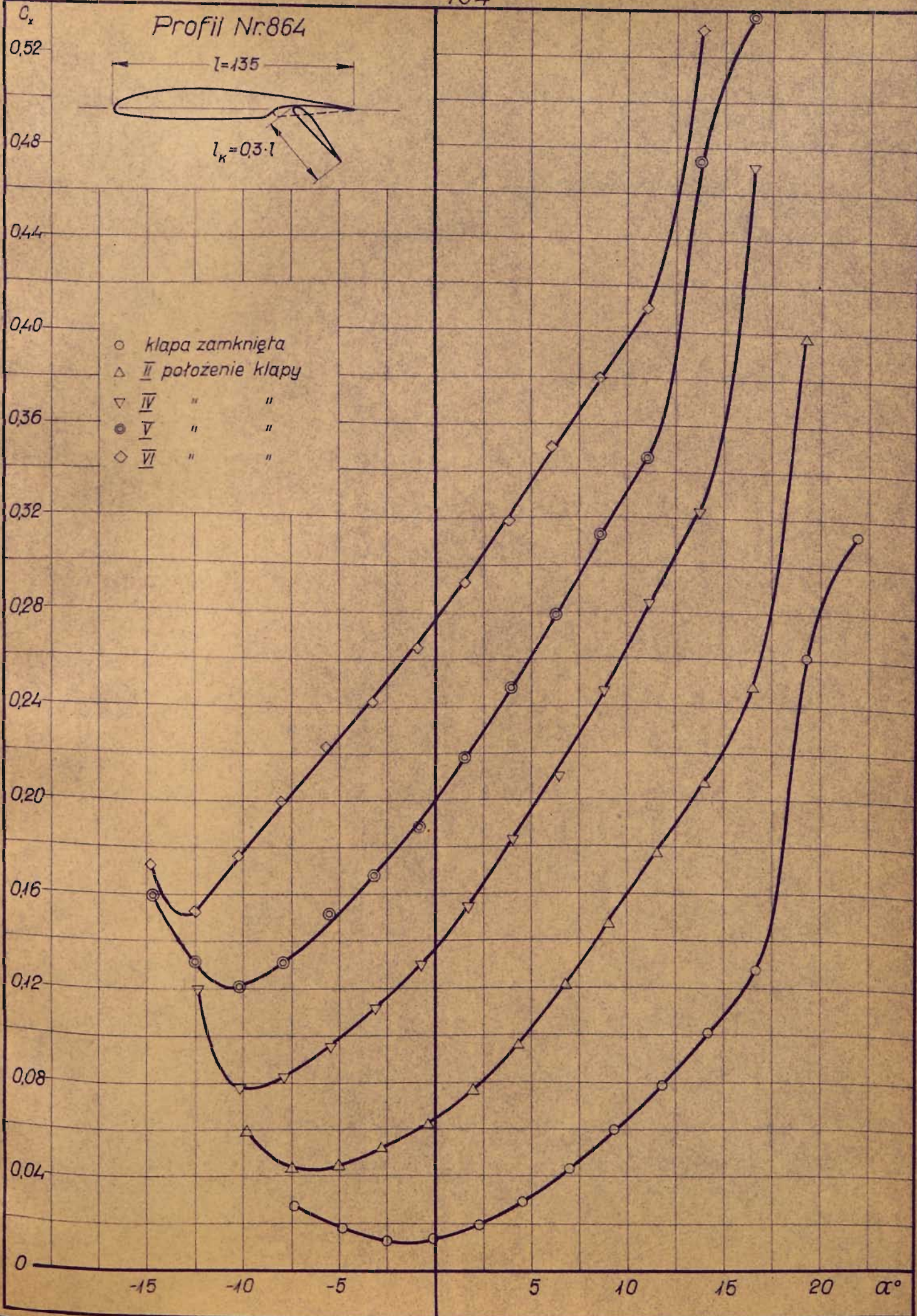
- | | | | |
|---|--------------------|---|-------------------|
| ○ | klapa zamknięta | ● | V położenie klapy |
| △ | II położenie klapy | ◇ | VI " " |
| ▽ | IV " " | | |

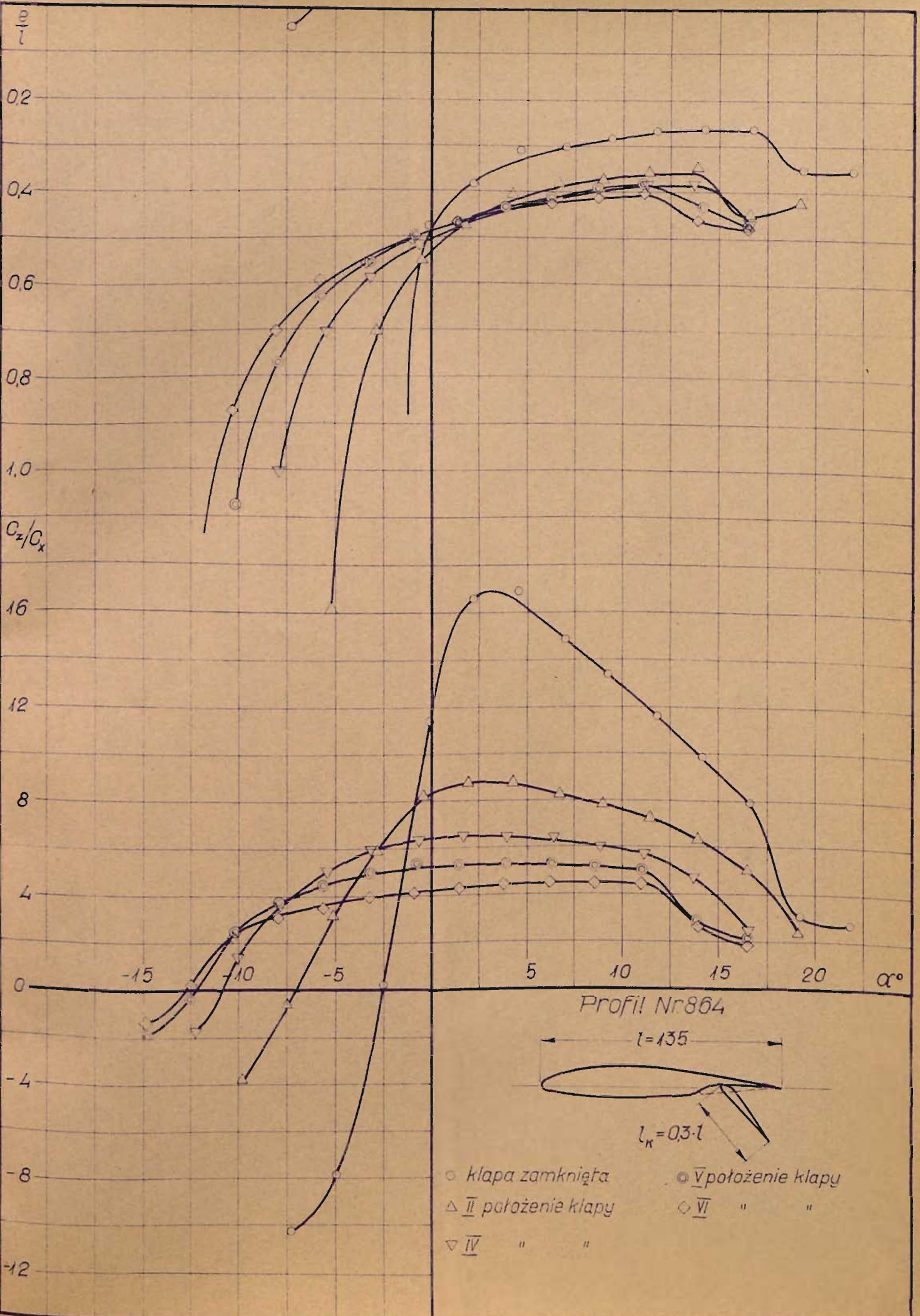


Profil Nr.864



- kłapa zamknięta
- △ II położenie kłapy
- ▽ IV " "
- V " "
- ◇ VI " "





Płat z klapą typu Fowlera.

Profil Nr. 864.

$\eta_k = 0^\circ$

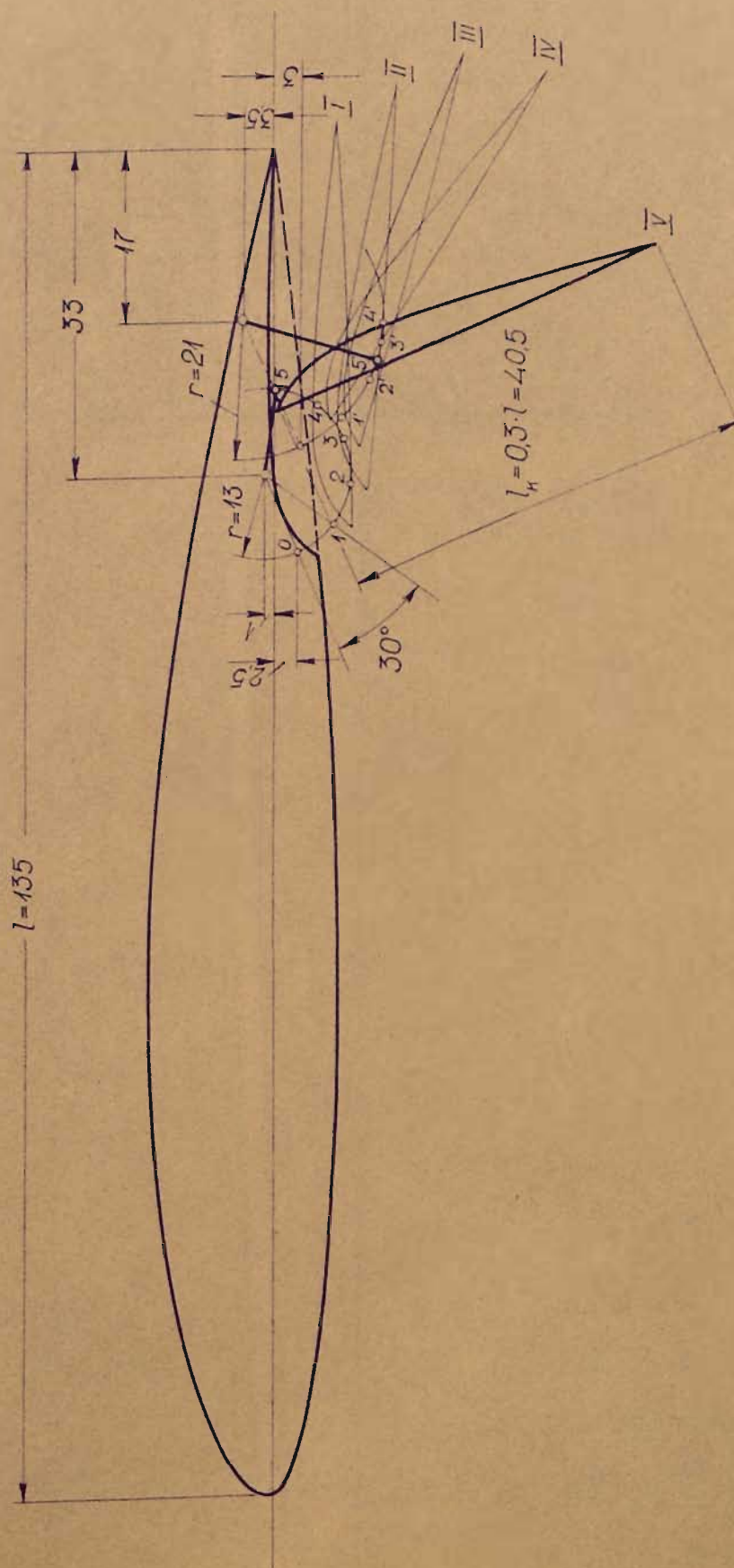
α°	c_z	c_x	c_z/c_x	c_m	e/l
Kłapa w położeniu zerowym			$\eta_k = 0^\circ$		
21,9	0,740	0,312	2,37	0,283	0,353
19,3	0,787	0,261	3,06	0,296	0,352
16,7	1,005	0,128	7,86	0,265	0,265
14,2	0,993	0,100	9,93	0,262	0,265
11,7	0,906	0,0782	11,58	0,243	0,269
9,3	0,788	0,0592	13,31	0,225	0,286
7,0	0,640	0,0432	14,81	0,196	0,306
4,6	0,481	0,0284	16,92	0,150	0,311
2,2	0,323	0,0195	16,57	0,125	0,386
-0,1	0,153	0,0135	11,35	0,073	0,476
-2,5	0,002	0,0126	0,14	0,041	31,140
-4,9	-0,142	0,0180	-7,91	0,009	-0,064
-7,3	-0,281	0,0273	-10,28	-0,014	0,048
I. położenie kłapy			$\eta_k = 11^\circ$		
19,3	0,844	0,338	2,50	0,352	0,387
16,6	1,112	0,196	5,67	0,447	0,399
14,0	1,150	0,161	7,17	0,356	0,308
11,6	1,123	0,134	8,38	0,367	0,326
9,2	1,005	0,109	9,23	0,344	0,341
6,8	0,855	0,0855	10,00	0,304	0,354
4,4	0,699	0,0657	10,63	0,269	0,384
2,1	0,531	0,0499	10,63	0,229	0,430
-0,3	0,361	0,0381	9,46	0,183	0,508
-2,7	0,179	0,0312	5,75	0,130	0,733
-5,0	0,016	0,0283	0,55	0,095	7,330
-7,4	-0,141	0,0301	-4,67	0,065	-0,453
-9,7	-0,310	0,0519	-5,98	0,007	-0,022
II. położenie kłapy			$\eta_k = 19^\circ$		
19,2	0,942	0,398	2,37	0,434	0,425
16,5	1,246	0,248	5,02	0,576	0,453
13,9	1,304	0,207	6,31	0,459	0,349
11,4	1,277	0,176	7,24	0,463	0,359
9,0	1,146	0,147	7,82	0,439	0,380
6,7	0,993	0,121	8,24	0,384	0,384
4,3	0,838	0,0959	8,74	0,346	0,411
1,9	0,672	0,0766	8,77	0,313	0,475
-0,4	0,502	0,0613	8,18	0,276	0,552
-2,8	0,300	0,0517	5,80	0,208	0,702
-5,1	0,139	0,0438	3,17	0,174	1,291
-7,5	-0,024	0,0437	-0,54	0,134	-4,625
-7,5	-0,223	0,0591	-3,78	0,059	-0,256
III. położenie kłapy			$\eta_k = 27^\circ$		
19,1	1,016	0,476	2,13	0,485	0,434
16,6	1,089	0,414	2,63	0,507	0,436
13,8	1,439	0,276	5,22	0,530	0,362
11,3	1,474	0,234	6,30	0,547	0,367
8,9	1,350	0,199	6,78	0,525	0,385
6,5	1,189	0,167	7,14	0,481	0,402
4,1	1,029	0,139	7,39	0,441	0,426
1,8	0,868	0,115	7,56	0,405	0,465
-0,6	0,688	0,0960	7,17	0,357	0,520
-2,9	0,516	0,0844	6,12	0,309	0,606
-5,3	0,328	0,0702	4,69	0,267	0,832
-7,6	0,139	0,0616	2,26	0,212	1,636
-10,0	-0,029	0,0655	-0,44	0,171	-4,300
-12,3	-0,290	0,116	-2,50	-0,007	0,021
-14,7	-0,378	0,166	-2,28	-0,082	0,200

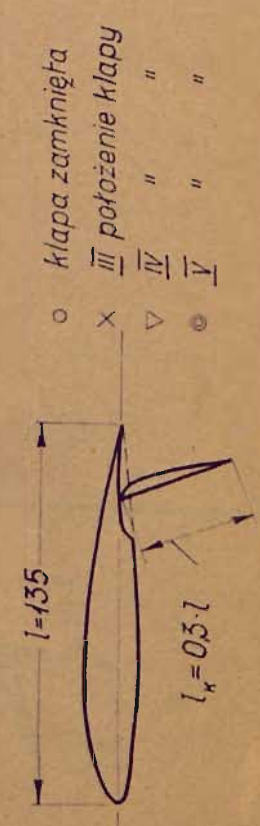
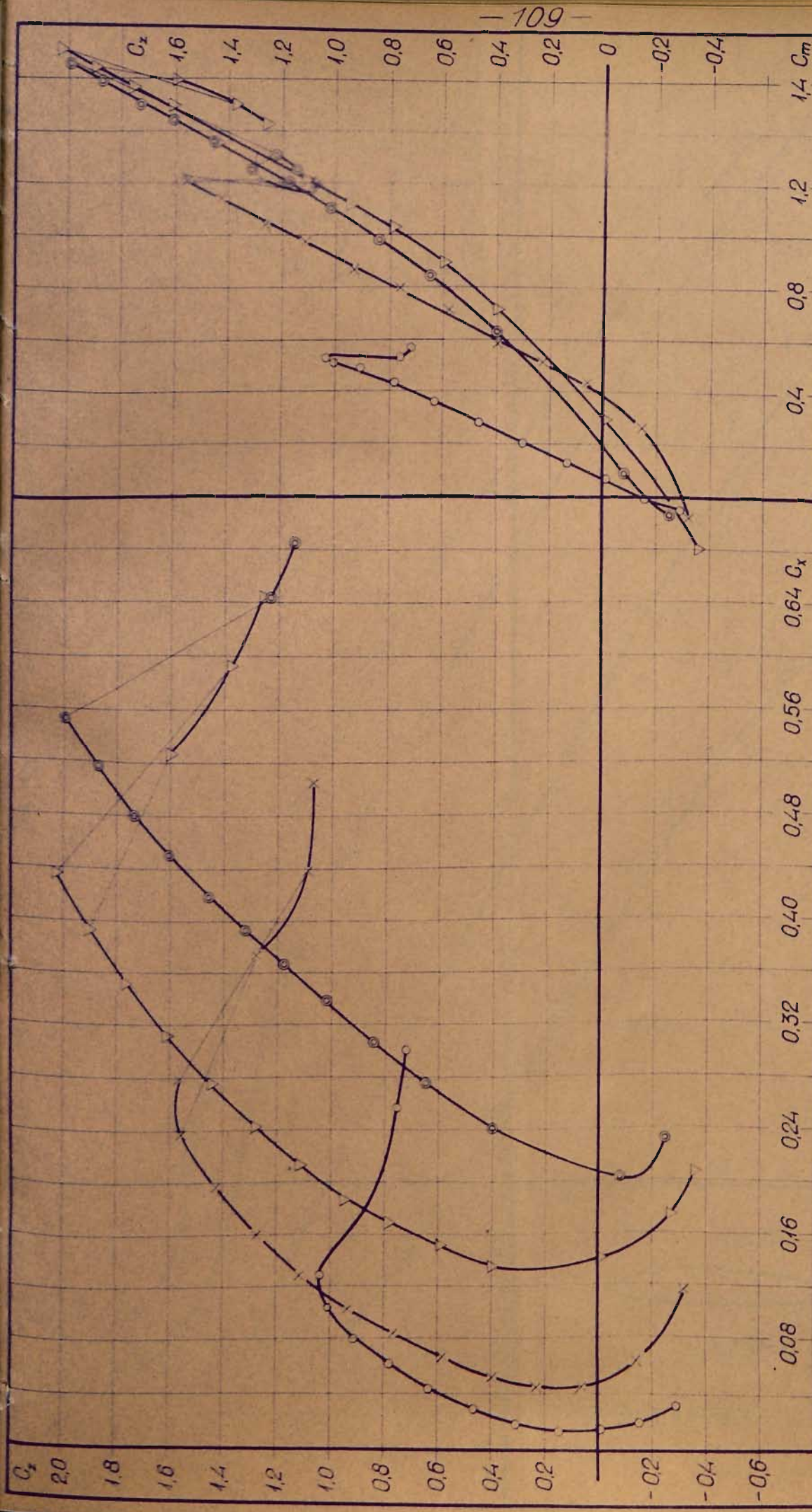
Plat z klapy typu Fowlera.

Profil Br. 664.

α°	c_z	c_x	c_z/c_x	c_m	e/l
IV. położenie klapy			$\beta = 36^\circ$		
16,5	1,154	0,472	2,45	0,582	0,470
15,7	1,502	0,323	4,65	0,590	0,384
11,1	1,612	0,283	5,70	0,637	0,390
8,8	1,478	0,246	6,00	0,597	0,399
6,4	1,347	0,210	6,44	0,572	0,424
4,0	1,171	0,183	6,41	0,519	0,440
1,7	1,003	0,155	6,49	0,476	0,473
-0,7	0,831	0,131	6,36	0,431	0,521
-3,1	0,661	0,112	5,91	0,384	0,588
-5,4	0,487	0,0965	5,04	0,335	0,706
-7,8	0,298	0,0826	3,60	0,284	1,000
-10,1	0,108	0,0781	1,38	0,214	2,312
-12,3	-0,209	0,121	-1,73	0,019	-0,082
V. położenie klapy			$\beta = 45^\circ$		
16,5	1,163	0,535	2,17	0,605	0,478
15,8	1,304	0,474	2,94	0,655	0,433
11,0	1,743	0,345	5,05	0,686	0,386
8,6	1,615	0,313	5,17	0,646	0,393
6,3	1,470	0,278	5,29	0,619	0,415
3,9	1,314	0,248	5,30	0,574	0,432
1,5	1,155	0,218	5,31	0,546	0,471
-0,8	1,004	0,188	5,33	0,509	0,508
-3,2	0,834	0,168	4,98	0,460	0,560
-5,6	0,670	0,152	4,41	0,410	0,630
-7,9	0,485	0,131	3,69	0,355	0,769
-10,2	0,300	0,121	2,48	0,294	1,076
-12,5	-0,049	0,132	-0,37	0,120	-1,581
-14,7	-0,300	0,160	-1,88	-0,048	0,145
VI. położenie klapy			$\beta = 54^\circ$		
16,5	1,163	0,581	1,99	0,618	0,483
13,8	1,402	0,531	2,64	0,686	0,451
11,0	1,826	0,411	4,44	0,754	0,403
8,6	1,694	0,380	4,45	0,714	0,412
6,2	1,551	0,351	4,43	0,674	0,427
3,8	1,402	0,318	4,41	0,621	0,458
1,4	1,265	0,293	4,32	0,593	0,466
-0,9	1,106	0,266	4,10	0,555	0,503
-3,3	0,954	0,242	3,94	0,524	0,558
-5,7	0,780	0,224	3,49	0,446	0,599
-8,0	0,612	0,200	3,06	0,407	0,703
-10,3	0,412	0,176	2,34	0,325	0,872
-12,5	0,034	0,153	0,22	0,133	1,300
-14,8	-0,242	0,172	-1,40	-0,014	0,051

Profil Nr. 743.



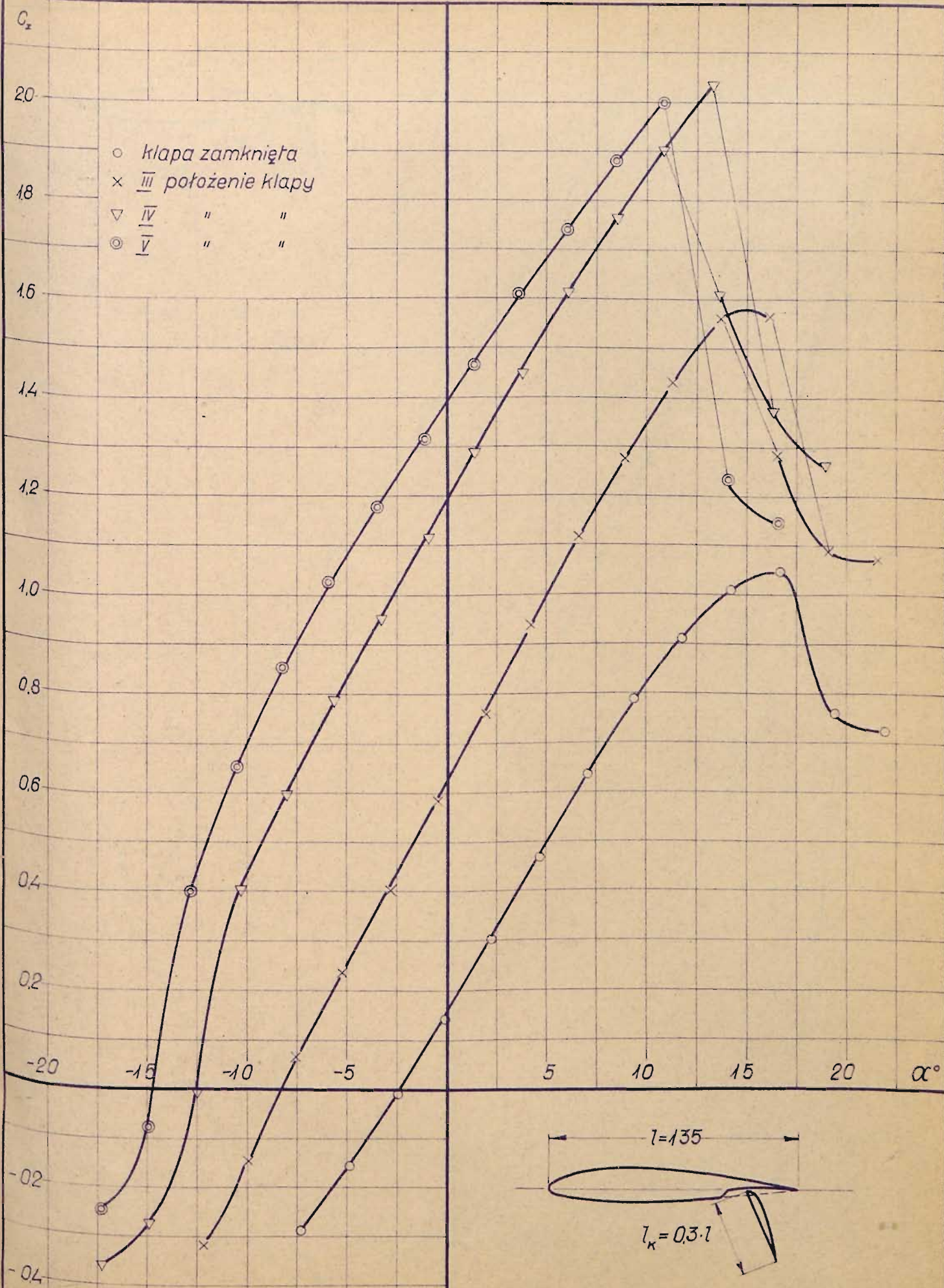


Profil Nr. 743

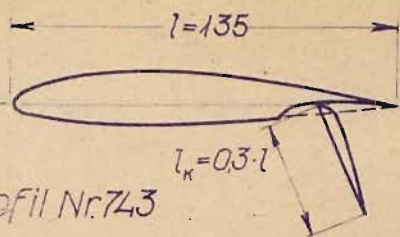
Cięciwa $l = 0,135m$ Powierzchnia $F = 0,0911m^2$
Grubość $g_{max} = 14\%$ Wyluzienie $\lambda = 5$
Rozpiętość $b = 0,675m$ Ciśnienie prędkości $q = 60kg/m^2$
Liczba Reynoldsa $Re \approx 3 \cdot 10^5$

- o klapa zamknięta
- x III położenie klapy
- v IV
- V

- kłapa zamknięta
- × III położenie kłapy
- ▽ IV " "
- ⊙ V " "

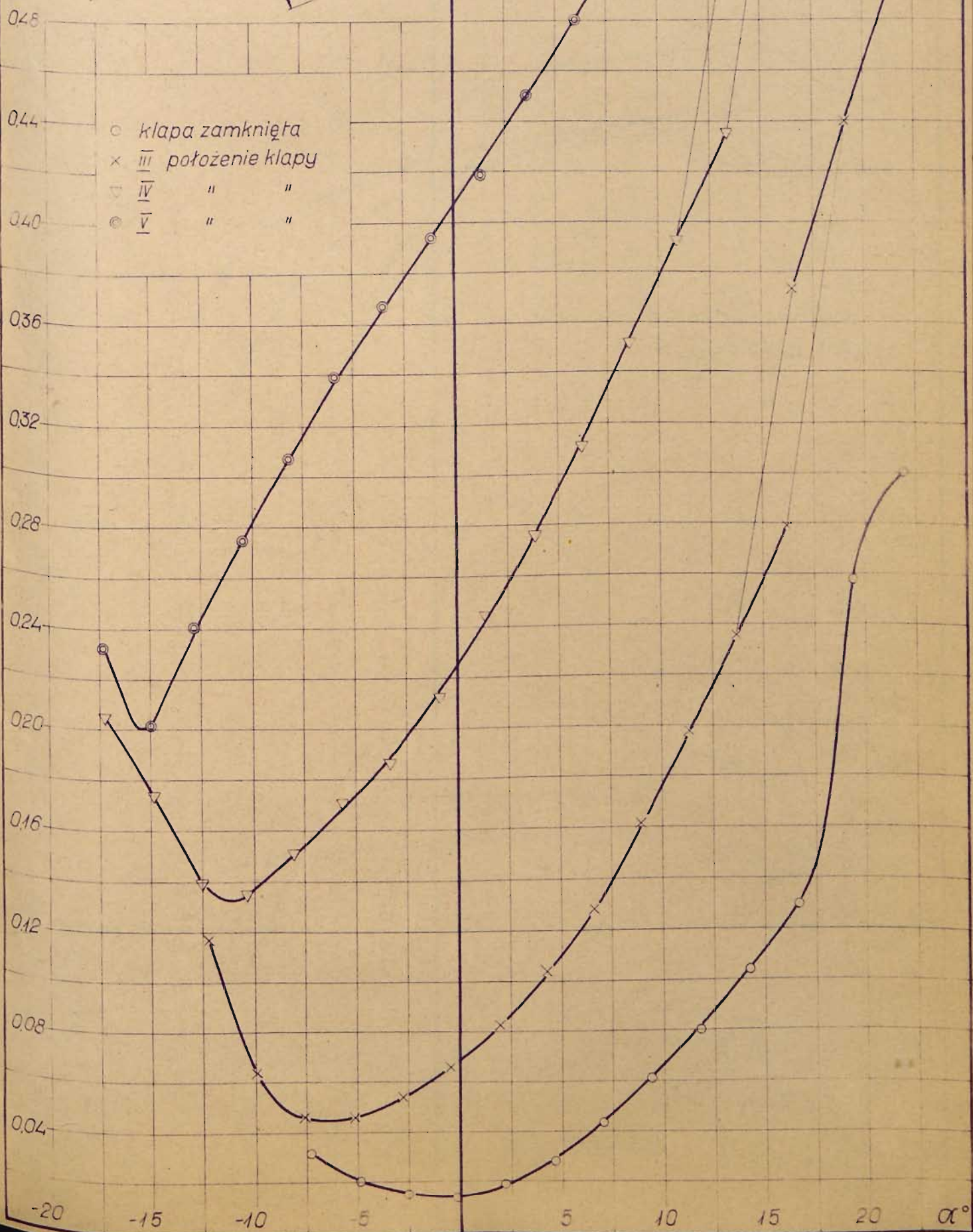


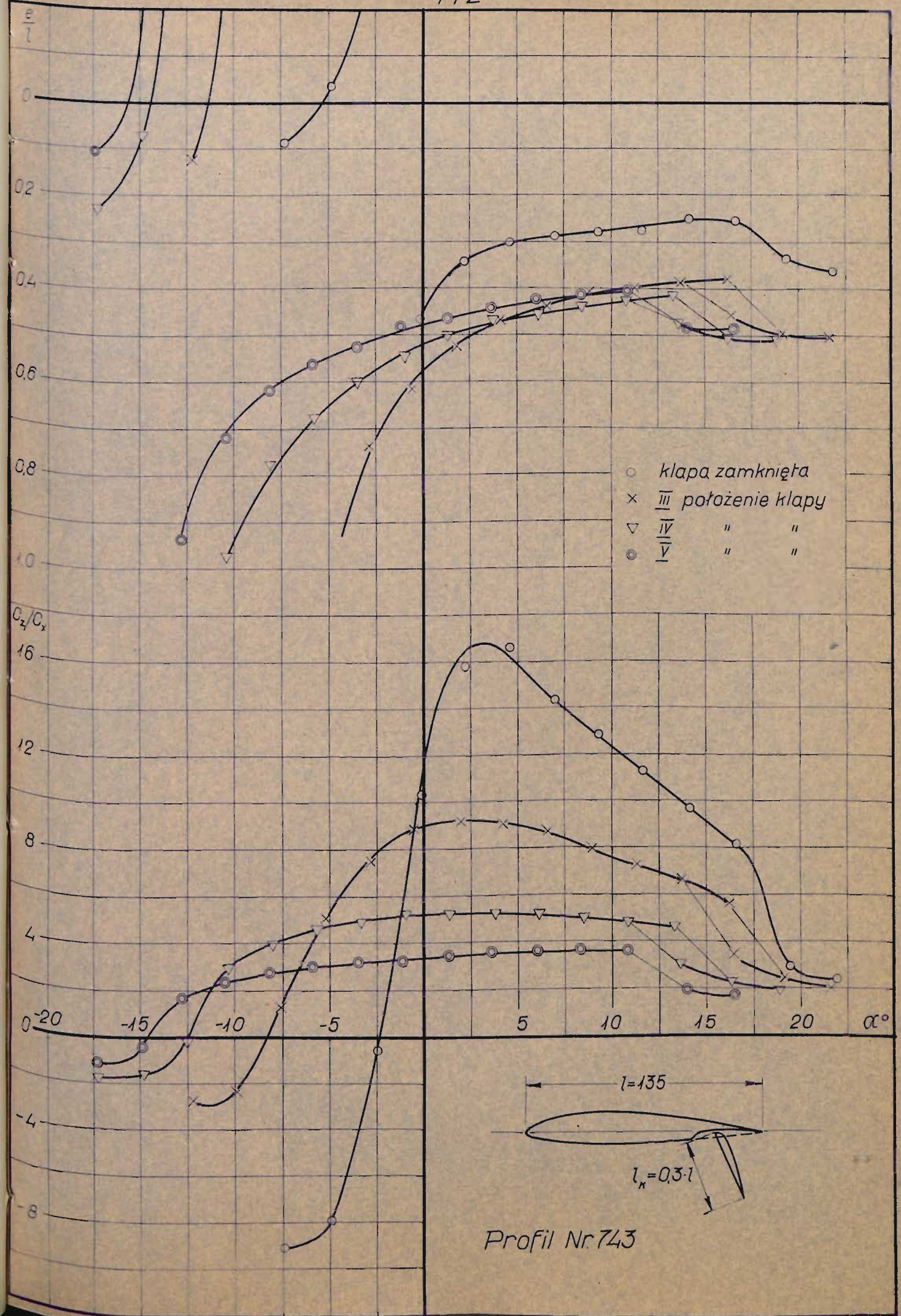
Profil Nr. 743



C_x Profil Nr 743

- klapa zamknięta
- × III położenie klapy
- ▽ IV " "
- V " "



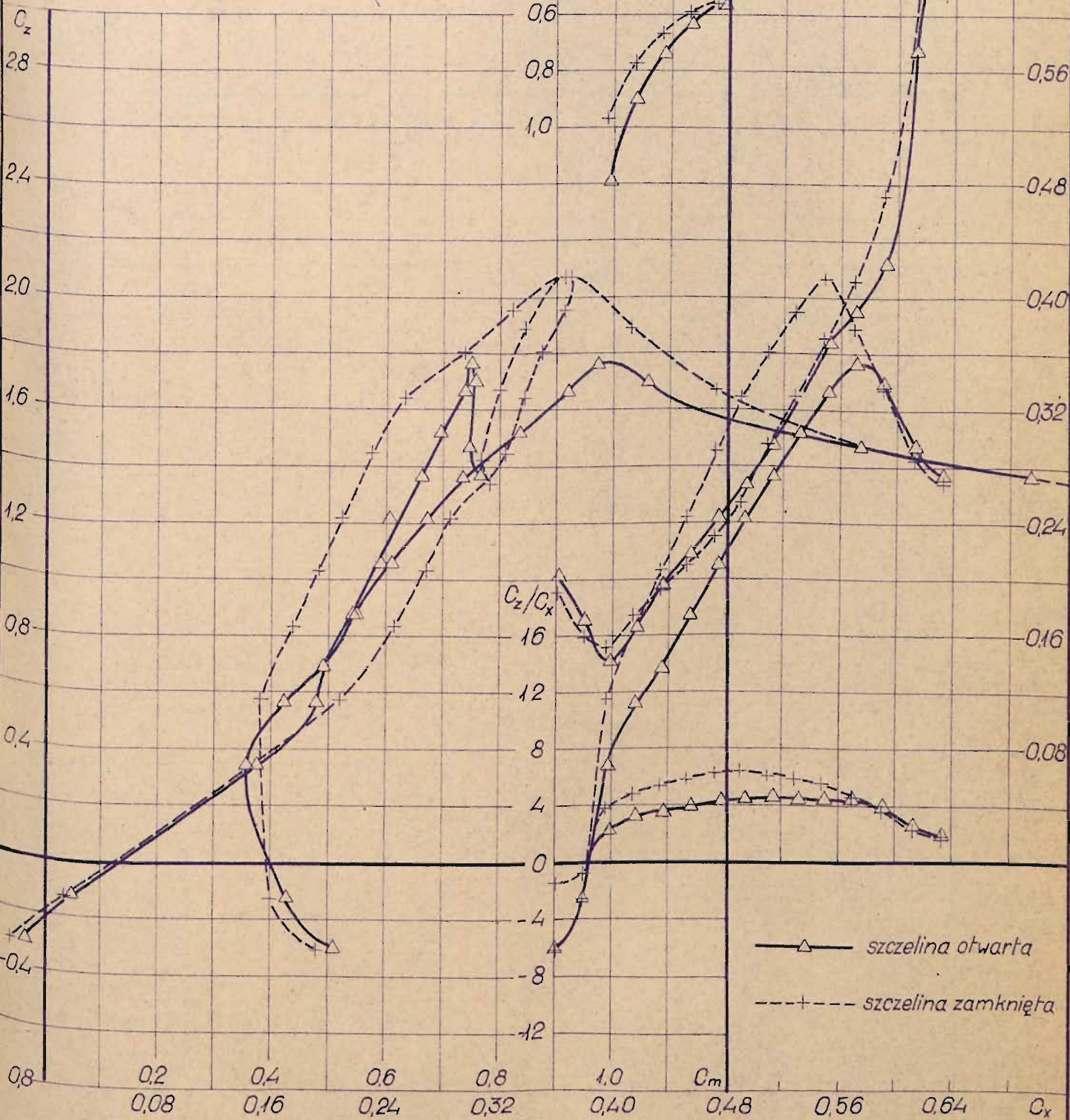
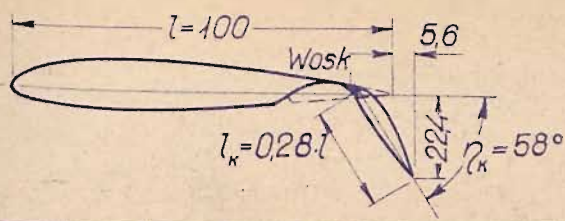


Plat z klapy typu Fowlera.

Profil Nr. 743.

α°	c_z	c_x	c_z/c_x	c_m	e/l
Kłapa w położeniu zerowym.			$\beta_k = 0^\circ$		
21,9	0,722	0,300	2,40	0,283	0,363
19,4	0,757	0,257	2,94	0,268	0,335
16,6	1,043	0,129	8,08	0,266	0,256
14,2	1,010	0,104	9,70	0,258	0,249
11,7	0,908	0,0802	11,32	0,246	0,272
9,3	0,784	0,0610	12,85	0,219	0,280
7,0	0,632	0,0438	14,43	0,180	0,284
4,6	0,465	0,0280	16,61	0,140	0,301
2,2	0,301	0,0190	15,81	0,102	0,340
-0,1	0,139	0,0135	10,32	0,065	0,467
-2,5	-0,009	0,0152	-0,56	0,036	-3,923
-4,9	-0,156	0,0198	-7,90	-0,005	0,033
-7,3	-0,287	0,0315	-9,11	-0,025	0,086
I. położenie kłapy.			$\beta_k = 3^\circ$		
21,8	0,816	0,343	2,37	0,351	0,397
19,3	0,860	0,296	2,90	0,359	0,394
16,5	1,171	0,159	7,57	0,342	0,293
14,0	1,126	0,129	8,70	0,329	0,293
11,6	1,031	0,105	9,78	0,315	0,306
9,2	0,891	0,0795	11,21	0,279	0,313
6,9	0,734	0,0591	12,42	0,240	0,326
4,5	0,570	0,0426	13,36	0,204	0,358
2,2	0,394	0,0300	13,13	0,155	0,393
-0,2	0,227	0,0214	10,63	0,120	0,528
-2,5	0,057	0,0187	3,02	0,069	1,244
-4,9	-0,108	0,0216	-4,99	0,028	-0,258
-7,3	-0,248	0,0341	-7,26	0,005	-0,022
-9,7	-0,376	0,0659	-5,70	-0,045	0,118
II. położenie kłapy.			$\beta_k = 9^\circ$		
21,7	0,967	0,408	2,37	0,489	0,466
19,2	0,996	0,360	2,77	0,486	0,459
16,3	1,381	0,212	6,52	0,484	0,350
13,9	1,345	0,175	7,70	0,474	0,351
11,5	1,240	0,144	8,60	0,456	0,366
9,1	1,088	0,113	9,65	0,405	0,370
6,7	0,923	0,0878	10,51	0,364	0,393
4,4	0,750	0,0653	11,47	0,323	0,430
2,0	0,570	0,0488	11,67	0,272	0,476
-0,3	0,388	0,0377	10,30	0,221	0,571
-2,3	0,214	0,0301	7,10	0,172	0,809
-5,0	0,044	0,0257	1,73	0,134	3,181
-7,4	-0,122	0,0343	-3,56	0,083	-0,659
-9,7	-0,301	0,0606	-4,97	0,011	-0,035
-12,2	-0,388	0,119	-3,27	-0,073	0,180
-14,7	-0,383	0,161	-2,38	-0,107	0,261

α°	c_z	c_x	c_z/c_x	c_m	e/l
III. położenie klapy.			$\beta = 19^\circ$		
21,6	1,070	0,505	2,12	0,600	0,500
19,1	1,087	0,440	2,47	0,584	0,498
16,4	1,282	0,374	3,43	0,608	0,455
16,2	1,566	0,279	5,61	0,612	0,377
13,7	1,560	0,236	6,62	0,604	0,385
11,3	1,430	0,197	7,27	0,571	0,396
8,9	1,272	0,161	7,90	0,521	0,407
6,6	1,114	0,128	8,73	0,490	0,437
4,2	0,935	0,104	9,02	0,435	0,468
1,9	0,759	0,0825	9,19	0,398	0,523
-0,5	0,581	0,0655	8,87	0,355	0,612
-2,8	0,400	0,0534	7,49	0,291	0,735
-5,2	0,233	0,0458	5,09	0,256	1,125
-7,6	0,062	0,0460	1,34	0,220	3,999
-9,9	-0,147	0,0638	-2,31	0,130	-0,836
-12,2	-0,317	0,117	-2,70	-0,041	0,122
IV. położenie klapy.			$\beta = 37^\circ$		
18,9	1,259	0,644	1,95	0,714	0,110
16,3	1,376	0,593	2,32	0,753	0,506
13,6	1,606	0,527	3,05	0,797	0,473
13,3	2,032	0,435	4,67	0,858	0,413
10,9	1,900	0,393	4,84	0,822	0,424
8,5	1,764	0,352	5,02	0,785	0,437
6,1	1,613	0,311	5,18	0,747	0,457
3,8	1,449	0,276	5,25	0,679	0,464
1,4	1,285	0,244	5,26	0,646	0,501
-0,9	1,116	0,212	5,26	0,606	0,545
-3,3	0,951	0,186	5,10	0,561	0,598
-5,7	0,785	0,171	4,60	0,517	0,677
-8,0	0,596	0,151	3,94	0,448	0,779
-10,3	0,402	0,135	2,97	0,361	0,975
-12,5	-0,008	0,140	-0,06	0,148	-3,900
-14,8	-0,273	0,174	-1,57	-0,022	0,071
-17,2	-0,357	0,206	-1,74	-0,093	0,231
V. położenie klapy.			$\beta = 72^\circ$		
16,5	1,144	0,685	1,67	0,627	0,485
14,0	1,233	0,643	1,92	0,656	0,485
10,8	1,995	0,553	3,61	0,830	0,402
8,4	1,876	0,516	3,64	0,795	0,412
6,0	1,739	0,481	3,62	0,751	0,422
3,6	1,607	0,450	3,57	0,722	0,443
1,3	1,461	0,419	3,49	0,680	0,463
-1,1	1,314	0,394	3,22	0,627	0,481
-3,5	1,175	0,367	3,20	0,603	0,524
-5,9	1,025	0,339	3,03	0,553	0,562
-8,2	0,851	0,307	2,77	0,494	0,619
-10,5	0,649	0,275	2,36	0,422	0,718
-12,8	0,400	0,241	1,66	0,314	0,935
-14,9	-0,077	0,202	-0,38	0,044	-0,349
-17,3	-0,248	0,232	-1,07	-0,033	0,109



Profil Nr.830.

Cięciwa $l = 0,1m$
 Grubość $g_{max} = 14\%$
 Rozpiętość $b = 0,7m$

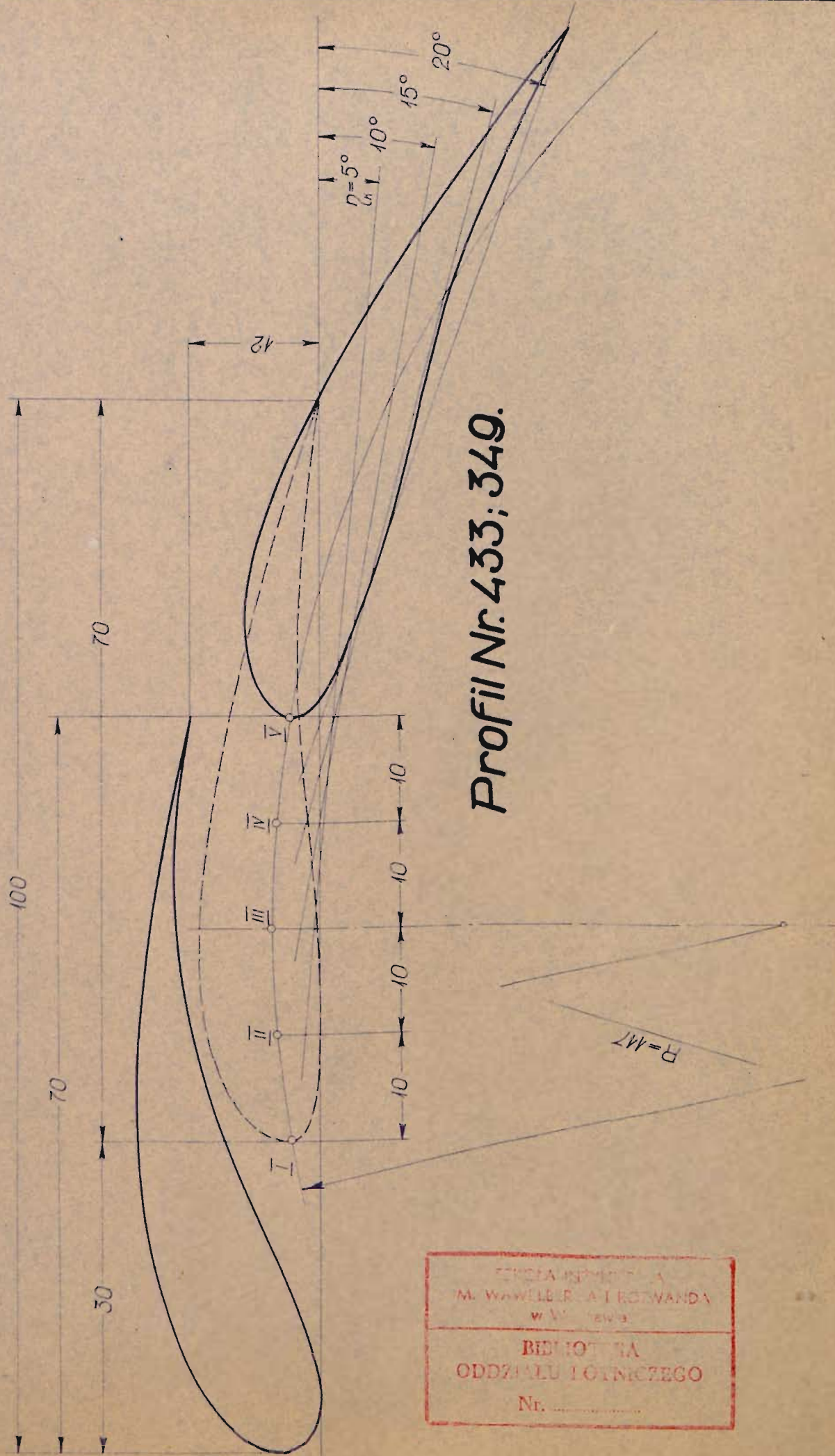
Powierzchnia $F = 0,07m^2$
 Wydłużenie $\Lambda = 7$
 Ciśnienie prędkości $q = 100kg/m^2$
 Liczba Reynolds'a $Re \approx 2,9 \cdot 10^5$

Pręt z klapą szczelinową wysuwaną.

Profil Nr. 830.

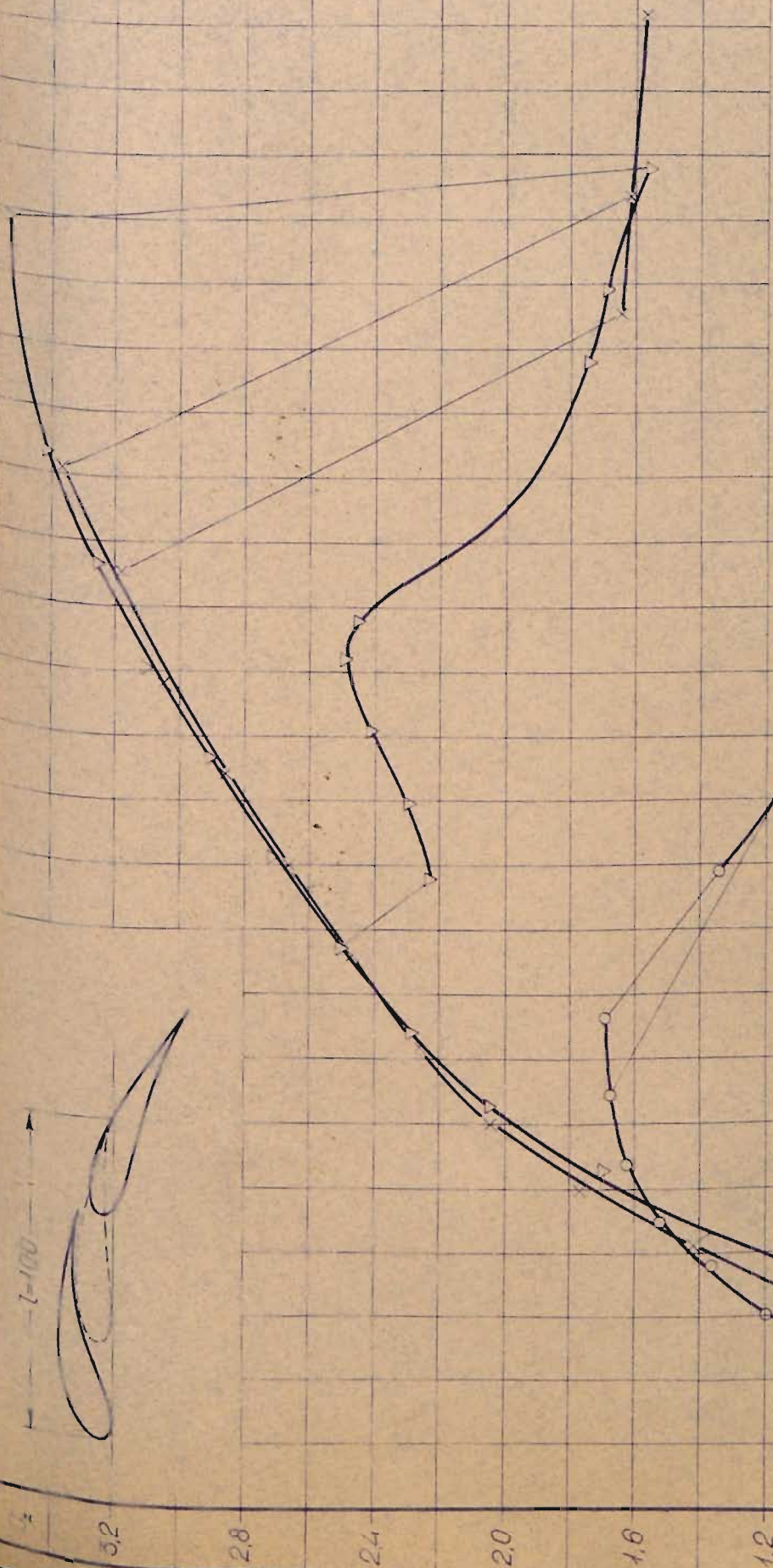
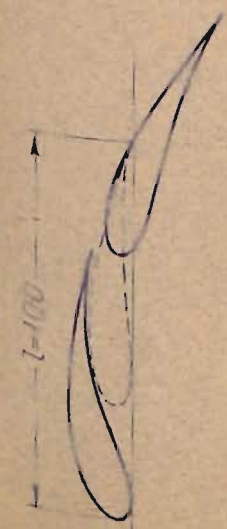
Pręt z klapą wychyloną.					
$\beta_k = 58^\circ$					
$l_k = 0,28 \text{ l}$					
α°	c_z	c_x	c_a/c_x	c_m	e/l
Szczelina otwarta.					
19,1	1,371	0,687	2,00	0,763	0,502
16,5	1,473	0,574	2,57	0,748	0,475
13,9	1,693	0,425	3,98	0,758	0,434
11,3	1,764	0,392	4,51	0,750	0,415
8,9	1,667	0,368	4,53	0,739	0,434
6,5	1,519	0,334	4,55	0,697	0,451
4,1	1,366	0,295	4,64	0,663	0,479
1,7	1,212	0,268	4,52	0,609	0,500
-0,7	1,051	0,243	4,32	0,591	0,564
-3,1	0,878	0,218	4,02	0,542	0,627
-5,5	0,691	0,197	3,51	0,493	0,738
-7,9	0,565	0,169	3,34	0,480	0,896
-10,2	0,346	0,143	2,43	0,375	1,190
-12,4	-0,136	0,172	-0,79	0,052	-0,308
-14,8	-0,301	0,204	-1,48	-0,034	0,098
Szczelina zamknięta.					
19,1	1,339	0,731	1,84	0,788	0,524
16,6	1,425	0,615	2,32	0,769	0,499
13,9	1,669	0,473	3,53	0,796	0,459
11,3	1,888	0,413	4,57	0,847	0,439
8,7	2,069	0,371	5,57	0,919	0,438
6,2	1,948	0,331	5,90	0,915	0,464
3,8	1,805	0,297	6,09	0,874	0,480
1,4	1,647	0,254	6,48	0,844	0,511
-0,9	1,457	0,231	6,31	0,811	0,558
-3,3	1,222	0,210	5,82	0,713	0,590
-5,7	1,035	0,194	5,34	0,673	0,666
-8,0	0,840	0,175	4,79	0,618	0,766
-10,4	0,578	0,153	3,78	0,523	0,967
-12,4	-0,133	0,160	-0,83	0,039	-0,239
-14,8	-0,309	0,192	-1,63	-0,062	0,178

Dwupłat typu Kellner-Béchereau.



Profil Nr. 433; 349.

BIURO INŻYNIERSTWA
M. WAWELBERG I ROTWANDA
w Warszawie
BIURO INŻYNIERSTWA
ODDZIAŁU LOTNICZEGO
Nr.

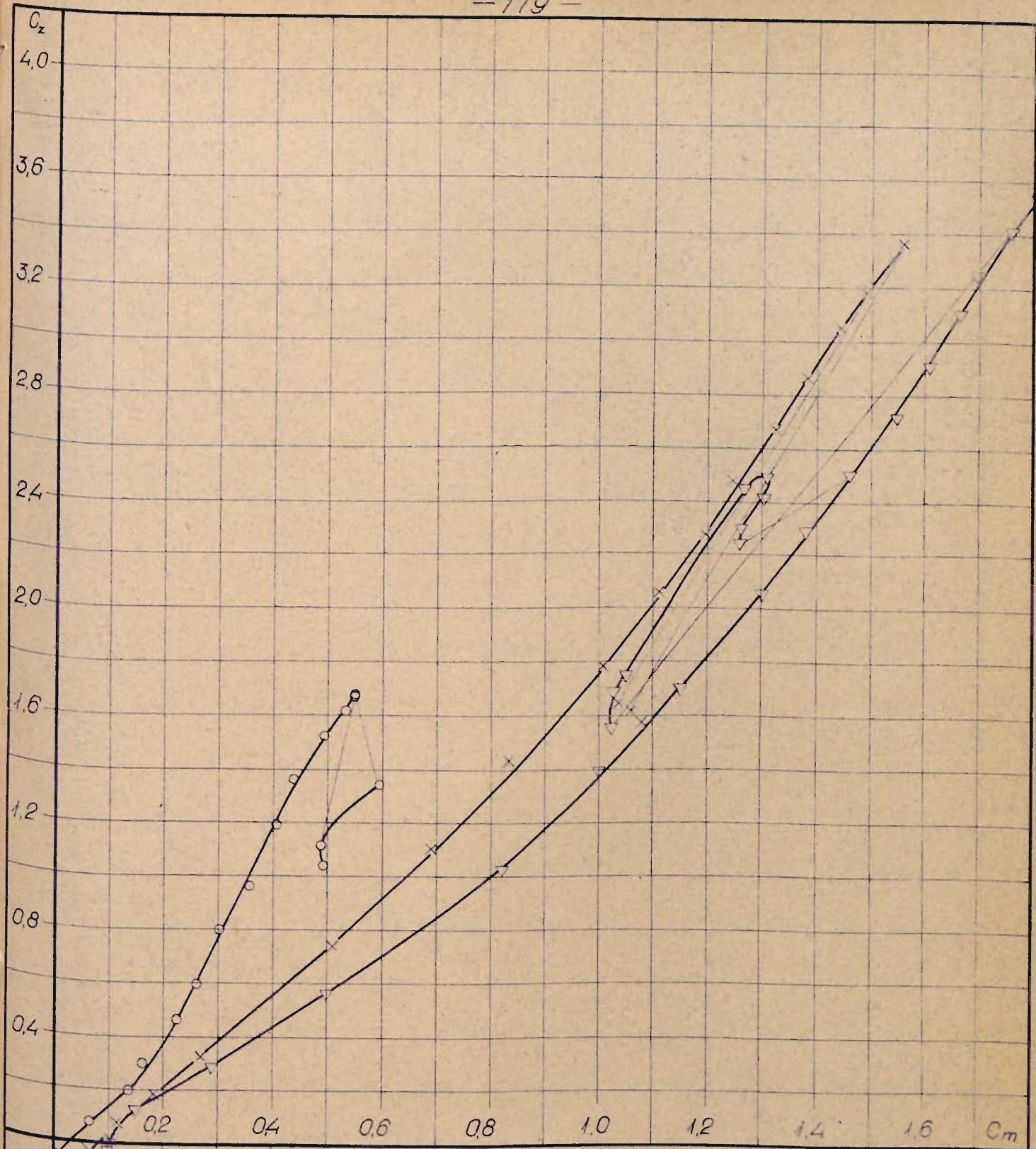


Profil Nr. 433, 349.

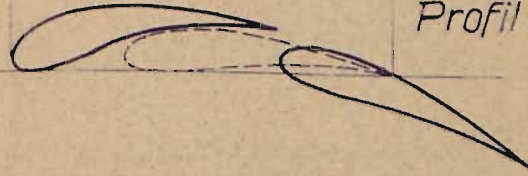
Ciężka $l=0,1m$ Powierzchnia $F=0,07m^2$
 Grubość $g_{max}=18,9:165\%$ Wydłużenie $\Lambda=7$
 Rozpiętość $b=0,7m$ Cisnienie prędkości $q=60kg/m^2$
 Liczba Reynoldsa $Re \approx 22 \cdot 10^5$

układ płatów
 I " " " " "
 IV " " " " "
 V " " " " "

α 0 0,08 0,16 0,24 0,32 0,40 0,48 0,56 0,64 0,72 0,80 0,88 0,96 C_x

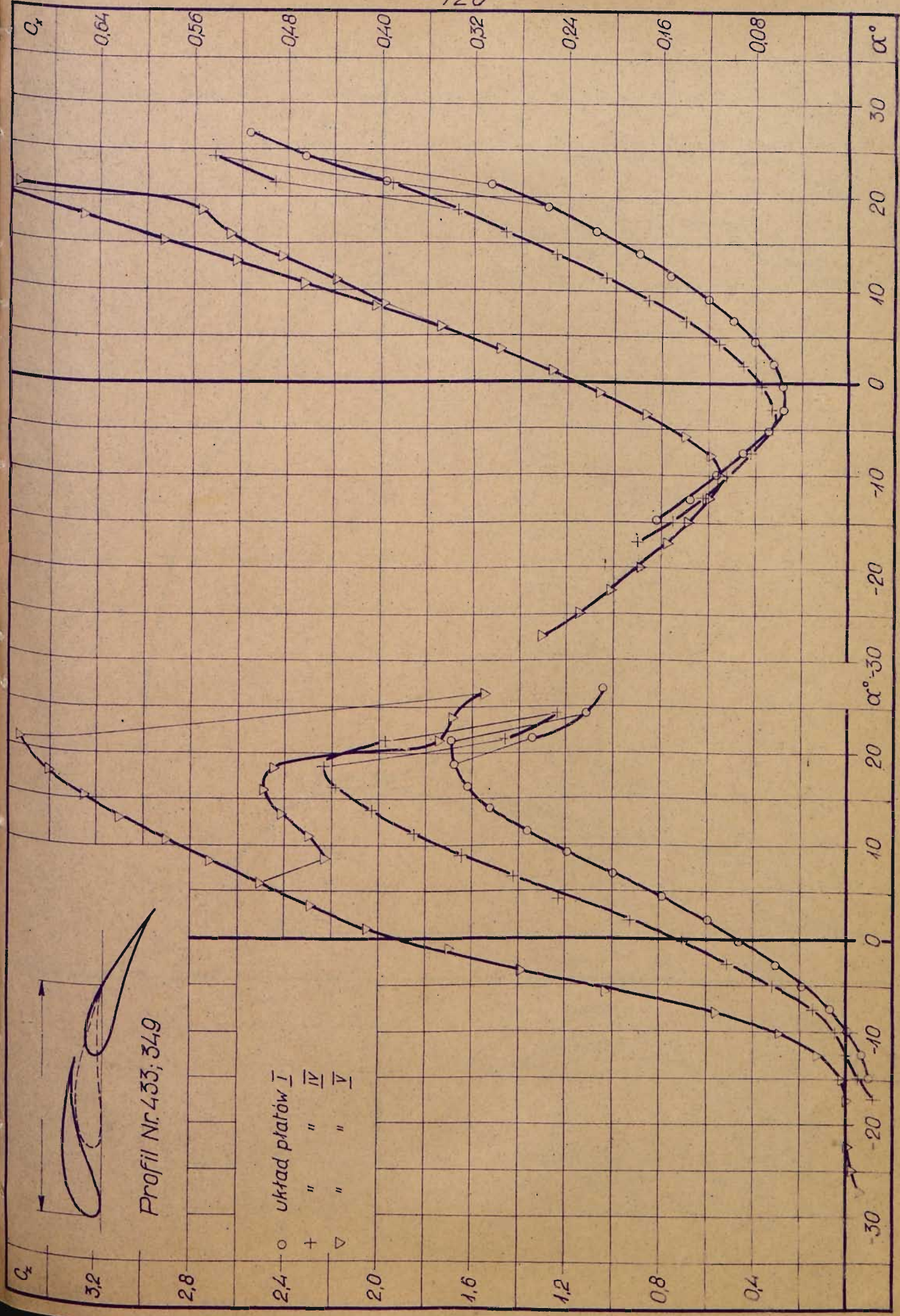


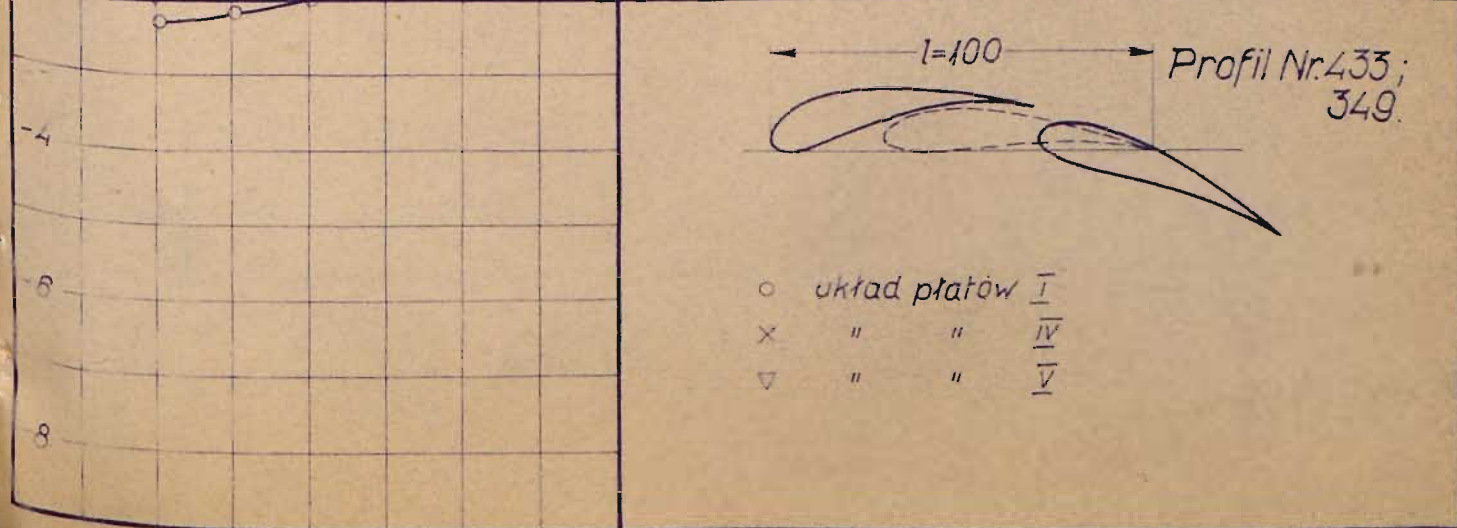
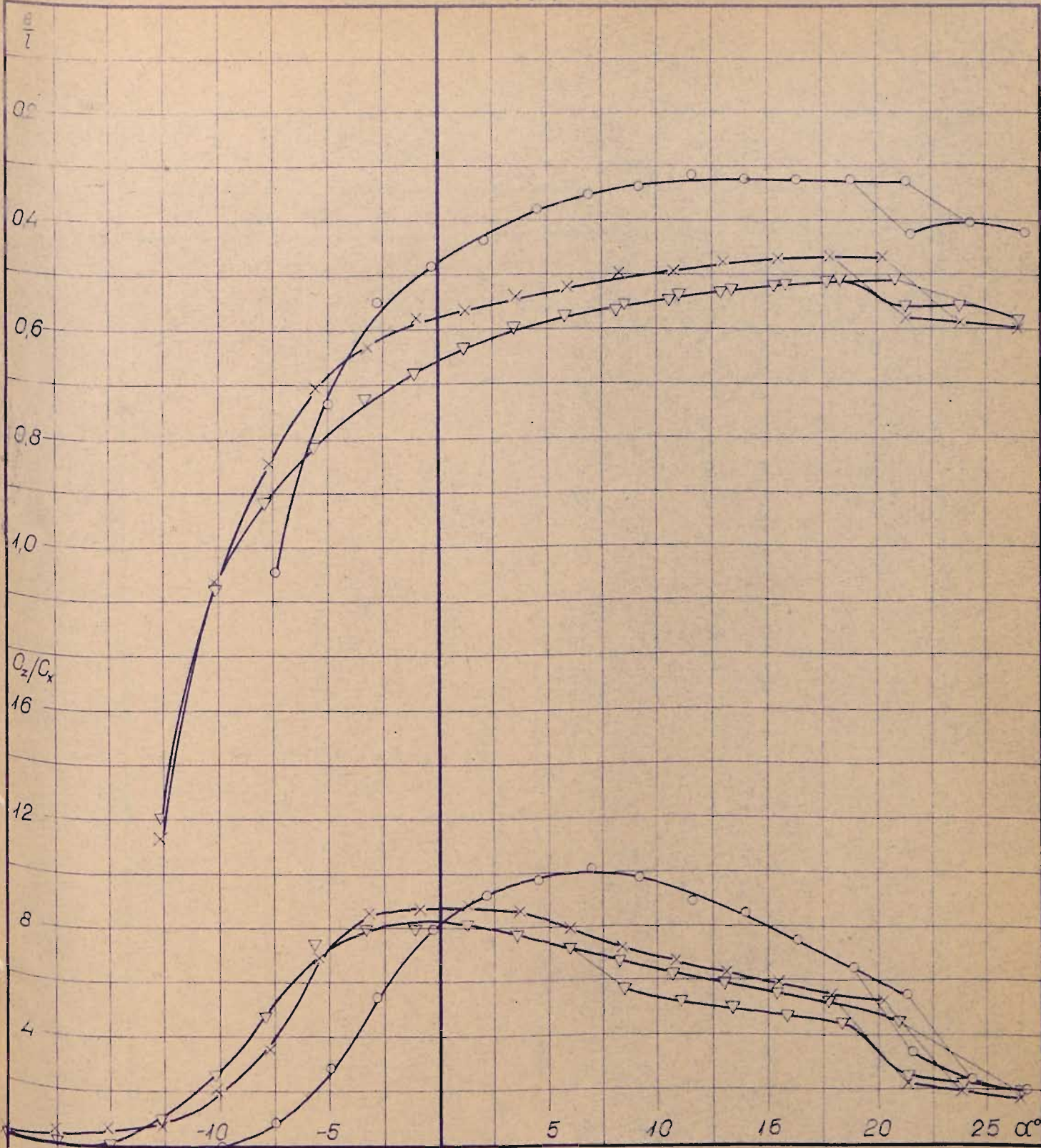
$l=100$



Profil Nr. 433;
349

- o układ płatów \overline{I}
- x " " \overline{IV}
- ∇ " " \overline{V}





Dwupłat typu Kellner-Béchereau.

Profil Nr.433,349.

α°	c_z	c_x	c_z/c_x	c_m	e/l
I. położenie płata tylnego.			$\beta_k = 0^\circ$		
26,8	1,046	0,511	2,05	0,492	0,423
24,3	1,110	0,464	2,40	0,488	0,406
21,6	1,341	0,396	3,39	0,594	0,427
21,4	1,690	0,306	5,53	0,553	0,330
18,9	1,675	0,258	6,47	0,549	0,329
16,4	1,622	0,216	7,53	0,531	0,327
14,0	1,526	0,179	8,52	0,493	0,324
11,6	1,360	0,153	8,91	0,435	0,318
9,2	1,190	0,121	9,81	0,404	0,339
6,7	0,996	0,0987	10,08	0,356	0,354
4,5	0,791	0,0813	9,72	0,302	0,360
2,1	0,590	0,0644	9,16	0,259	0,438
-0,3	0,460	0,0584	7,87	0,224	0,486
-2,8	0,300	0,0554	5,42	0,162	0,551
-5,1	0,191	0,0682	2,80	0,135	0,754
-7,5	0,072	0,0915	0,80	0,063	1,045
-10,0	0,000	0,114	0,00	0,021	-1,065
-12,5	-0,058	0,136	-0,43	0,001	-0,016
-14,9	-0,100	0,164	-0,61	-0,015	0,107
II. położenie płata tylnego.			$\beta_k = 5^\circ$		
24,2	1,234	0,541	2,28	0,628	0,466
21,5	1,459	0,491	2,97	0,720	0,466
21,2	1,970	0,390	5,05	0,787	0,398
18,5	2,234	0,334	6,68	0,855	0,384
16,1	2,181	0,292	7,48	0,827	0,390
13,7	2,025	0,250	8,12	0,777	0,384
11,3	1,846	0,207	8,94	0,736	0,398
8,9	1,645	0,171	9,63	0,674	0,408
6,6	1,425	0,140	10,18	0,594	0,415
4,2	1,229	0,111	11,08	0,553	0,449
1,9	0,925	0,0895	10,35	0,442	0,477
-0,4	0,698	0,0748	9,33	0,361	0,518
-2,8	0,508	0,0645	7,88	0,290	0,575
-5,2	0,315	0,0636	4,96	0,214	0,694
-7,6	0,113	0,0839	1,35	0,104	1,035
-10,0	0,049	0,105	0,46	0,066	2,225
-12,5	0,000	0,125	0,00	0,035	-1,281
-15,0	-0,055	0,151	-0,37	0,013	-0,137
-17,4	-0,116	0,180	-0,64	-0,009	0,053

Dwupłat typu Kellner-Béchereau.

Profil Nr. 433, 349.

α°	c_z	c_x	c_z/c_x	c_m	e/l
III. położenie płata tylnego			$\eta = 10^\circ$		
21,2	2,070	0,494	4,19	0,904	0,429
18,5	2,332	0,440	5,30	0,980	0,417
15,9	2,537	0,386	6,58	1,025	0,405
13,4	2,390	0,338	7,06	0,977	0,407
11,1	2,215	0,293	7,58	0,925	0,415
8,7	2,048	0,249	8,23	0,882	0,427
6,3	1,855	0,209	8,90	0,822	0,440
3,9	1,633	0,171	9,54	0,761	0,464
1,6	1,348	0,144	9,33	0,603	0,491
-0,7	1,107	0,117	9,48	0,573	0,516
-3,1	0,875	0,0916	9,55	0,495	0,570
-5,4	0,633	0,0763	8,29	0,390	0,628
-7,7	0,351	0,0758	4,62	0,247	0,731
-10,1	0,197	0,0906	2,13	0,163	0,859
-12,6	0,143	0,109	1,32	0,133	1,063
-15,1	0,093	0,128	0,72	0,103	1,640
-17,5	0,026	0,136	0,17	0,065	-3,038
-20,0	-0,034	0,179	-0,19	0,030	-0,320
-22,4	-0,094	0,211	-0,45	-0,003	-0,127
IV. położenie płata tylnego			$\eta = 15^\circ$		
26,5	1,571	0,929	1,69	1,077	0,531
21,4	1,646	0,741	2,22	1,037	0,573
20,3	3,366	0,644	5,23	1,557	0,462
17,9	3,180	0,582	5,46	1,469	0,464
15,5	3,050	0,514	5,94	1,441	0,469
13,1	2,864	0,457	6,26	1,380	0,477
10,8	2,669	0,400	6,67	1,323	0,491
8,4	2,472	0,344	7,19	1,244	0,499
6,0	2,269	0,287	7,92	1,192	0,521
3,7	2,049	0,239	8,59	1,114	0,541
1,3	1,775	0,201	8,82	1,008	0,567
-0,9	1,432	0,165	8,67	0,832	0,583
-3,2	1,101	0,129	8,54	0,690	0,632
-5,5	0,736	0,106	6,92	0,509	0,709
-7,7	0,332	0,0932	3,56	0,266	0,848
-10,1	0,193	0,0953	2,02	0,184	1,062
-12,6	0,080	0,110	0,73	0,083	1,533
-15,0	0,069	0,127	0,55	0,092	2,656
-17,5	0,074	0,148	0,50	0,113	4,365
-20,0	0,033	0,171	0,19	0,099	-3,315
-22,5	-0,022	0,200	-0,11	0,042	-0,638
-25,0	-0,064	0,226	-0,28	0,059	-0,388
-27,4	-0,108	0,257	-0,42	0,033	-0,155

Dwupłat typu Kellner-Béchereau.

Profil Nr. 433,349.

α°	c_z	c_x	c_z/c_x	c_m	e/l
V. położenie płata tylnego.			$\beta = 20^\circ$		
26,5	1,557	0,833	1,87	1,021	0,579
23,9	1,687	0,758	2,23	1,024	0,554
21,4	1,746	0,712	2,46	1,049	0,556
18,4	2,447	0,552	4,43	1,267	0,508
15,9	2,491	0,528	4,73	1,307	0,514
13,4	2,418	0,482	5,02	1,300	0,528
11,0	2,301	0,438	5,26	1,259	0,537
8,5	2,231	0,392	5,69	1,258	0,556
20,9	3,546	0,796	4,46	1,810	0,504
17,8	3,409	0,652	5,23	1,760	0,511
15,4	3,250	0,586	5,55	1,696	0,517
13,0	3,105	0,523	5,94	1,667	0,530
10,6	2,906	0,466	6,23	1,606	0,546
8,2	2,718	0,405	6,71	1,548	0,564
5,9	2,503	0,348	7,19	1,457	0,577
3,5	2,290	0,297	7,70	1,378	0,598
1,2	2,051	0,252	8,15	1,300	0,633
-1,1	1,698	0,213	7,96	1,151	0,680
-3,4	1,388	0,173	8,03	1,000	0,728
-5,7	1,030	0,141	7,34	0,821	0,812
-7,9	0,562	0,119	4,71	0,493	0,916
-10,2	0,290	0,111	2,61	0,285	1,075
-12,6	0,127	0,118	1,07	0,147	1,497
-15,0	0,016	0,138	0,12	0,094	-4,790
-17,5	0,005	0,157	0,03	0,094	-2,250
-20,0	0,005	0,180	0,03	0,101	-1,769
-22,5	0,003	0,201	0,02	0,100	-1,342
-25,0	-0,026	0,230	-0,11	0,097	-0,805
-27,5	-0,052	0,261	-0,20	0,084	-0,502